



# SEUIL DE DJENNÉ

ETUDES

HYDROLOGIE

HYDRAULIQUE

J. P. LAMAGAT

NOVEMBRE 1986

## *INTRODUCTION*

*Le présent rapport correspond à la mise à jour des données de base éditée en décembre 1983 "PROJET D'AMENAGEMENT DU SEUIL DE DJENNE - Etudes Hydrologiques et Hydrauliques".*

*Les points préoccupants pour la Direction Nationale du Génie Rural ont été introduits, soit dans le texte, soit en annexe. Une note préliminaire les examine point par point dans ce qui suit.*

*Jean - Pierre LAMAGAT  
Novembre 1986*

## AVANT PROPOS

### 1. Données hydrométriques

Les données utilisées sont celles de la banque en possession du Service Hydrologique de l'ORSTOM. Elles sont constituées par les saisies du contenu des originaux des observations.

Une analyse de ces données a été effectuée sur écran graphique afin d'éliminer les observations de qualités douteuses dues aux Observateurs peu consciencieux.

Les mesures de débits utilisées totalement ne donnent pas lieu à des critiques notoires, les courbes de tarages et les tableaux correspondants sont situés en annexe.

### 2. Ajustements graphiques

L'étude statistique des HMD a été effectuée à partir de DOUNA et MOPTI. Les modèles de propagation ont permis de transférer à BENENI KEGNY et SOFARA les matrices 36\*9 des HMD en fonction de la fréquence au dépassement. Les ajustements des décades correspondant au remplissage ont été rajoutées au texte.

Les troncatures ont été choisies d'après la représentation sur écran graphique de l'ordinateur, le test d'adéquation du  $\chi^2$  a été utilisé pour montrer la qualité des ajustements. À chaque essai, la probabilité de dépassement de la valeur du  $\chi^2$  calculée a été supérieure à 10%. Les ajustements sont donc très satisfaisants (en matière de test du  $\chi^2$ , il est admis par les Statisticiens et les Hydrologues que 5% est le minimum pour que le l'ajustement soit considéré comme satisfaisant).

### 3. Courbes de tarage

Les courbes de tarage sont présentées en annexe ainsi que les tableaux de traitements des mesures de débits et les analyses pour les cas de non bi-univocité.

Le passage du débit univoque au débit réel est fixé par deux paramètres, la hauteur et le gradient. Ce dernier peut-être évalué de diverses manières. Dans le cas présent il est estimé par:

$$G = (H_i - H_{i-1}) / (JD_i - JD_{i-1})$$

G en cm/j.

$H_i$  = hauteur de la décade i -  $H_{i-1}$  = hauteur de la décade précédente.

$JD_i$  = n° du jour central de la décade.

$JD_{i-1}$  = n° " " " " " précédente.

#### *4. Modèle de propagation*

*Il est tiré de la note :*

#### **"MODELE DE PROPAGATION DES CRUES DU FLEUVE NIGER"**

*Des essais d'applications sont présentés dans le texte. En particulier la crue 1984 qui ne fait pas partie de la période utilisée pour l'ajustement du modèle. Il est aisé de constater que les résultats obtenus sont particulièrement précis.*

#### *5. QMD de BENENI KEGNY*

*Le tableau des QMD a été revu. Il y a eu une erreur au niveau du coefficient de correction de gradient.*

#### *6. CRUE de PROJET*

*Elle est présentée dans le cas le plus pessimiste, l'amortissement étant supprimé dans le bief BENENI KEGNY - SEUIL. La crue réelle subira un amortissement, peut-être faible après endiguement, mais elle sera dans tous les cas légèrement amortie, ne serait-ce que par le volume du bief endigué.*

#### *7. Comparaison des HMD 1981 et 1983*

*En 1981 l'étude a été réalisée "à la main", il n'y a pas eu la possibilité d'ajuster des lois type Distribution Exponentielle Généralisée. Les ajustements étaient effectués graphiquement par "lissage" des courbes. Cette méthode, qui n'a plus cours à l'heure actuelle, était la seule opérationnelle en l'absence d'un gros ordinateur. Les résultats obtenus de cette façon tiennent trop compte des valeurs extrêmes et peu des valeurs centrales qui ont, en fait, le même poids.*

#### *8. Points VIII*

*Les deux points mis en cause n'ont pas lieu d'être, les courbes de remplissage ont été fournies en leur temps par la Direction du GR, de même que les niveaux de remplissage. Ces valeurs faisaient partie des contraintes imposées (voir Conseiller Technique de l'époque).*

## 1. METHODOLOGIE

La méthodologie utilisée dans la précédente étude des HMD du DELTA CENTRAL DU NIGER a été revue entièrement. Les lois établies en vue de l'automatisation du traitement statistique sont opérationnelles.

Ce traitement permet d'obtenir l'homogénéité des résultats basés sur l'application de la DISTRIBUTION EXPONENTIELLE GENERALISÉE (GOODRICH - JENKINSON).

### 1.1. Analyse des paramètres

La morphologie du DELTA CENTRAL DU NIGER induit 2 régimes d'écoulements dont les paramètres hydrauliques sont sensiblement différents :

- Les crues faibles restent dans le lit mineur du fleuve et ne subissent pratiquement pas d'amortissement.
- Lorsque la fréquence au dépassement atteint .4, le plan d'eau dépasse le bourrelet de berge et il y a alors inondation dans les plaines. On assiste aux captures des points bas (mares, lac et émissaires, etc...), les pertes deviennent très importantes.
- L'analyse des Hauteurs Maximales classées montre que le seuil de dépassement du bourrelet est circonscrit à une fréquence de l'ordre de .4. Ceci s'explique physiquement par l'apparition rapide d'écoulements en nappes dans les plaines d'inondation.
- L'effet d'amortissement sur les modules (pertes par évaporation et infiltration, captures) est sensible à partir du seuil correspondant à une fréquence plus faible (.25). On peut expliquer ce phénomène par la durée du dépassement du bourrelet dont la période de retour est elle-même différente de celle du Hmax. Ceci induit une fréquence plus élevée pour les modules, ainsi que pour les Qmax.
- La solution préconisée pour le traitement automatique des échantillons de HMD est l'utilisation de 2 lois tronquées en fréquence, avec troncature commune, supérieure pour les valeurs faibles et inférieure pour les fortes.

### 1.2. Lois statistiques

On distingue deux cas:

- borne inférieure : paramètre d'échelle  $s > 0$

$$\text{fonction de répartition : } g(x) = e^{-(u^{(1/d)})} \quad (1)$$

- borne supérieure : paramètre d'échelle  $s < 0$

$$\text{fonction de répartition : } g(x) = 1 - e^{(-u^{(1/d)})} \quad (2)$$

La variable réduite  $u$  est:

$$u = (x - x_0)/s$$

Signification des paramètres :

$x_0$  = paramètre de position  
 $s$  = " d'échelle  
 $d$  = " de forme

$s$  a les mêmes dimensions que  $x$  et  $x_0$ .

### 1.2.1. Lois tronquées

Dans le cas du DELTA du NIGER où les échantillons de hauteurs correspondent à 2 systèmes de transit de la crue, il a paru utile d'orienter les analyses dans le sens de 2 ajustements, en prenant comme paramètre de position la valeur de la variable qui correspond aux fréquences de troncatures déterminées graphiquement comme indiqué au § précédent.

#### 1.2.1.1. Expressions de la loi

Elle s'écrit dans les 2 cas de la même manière :

$$F(x) = F_0 + (F_1 - F_0) * g(x) \quad (3)$$

#### 1.2.1.2. borne inférieure

$$F_0 = 0 \text{ et } g(x) = e^{-u^{(1/d)}} \quad F_1 = \text{borne inf.}$$

$$F(x) = F_1 * e^{-u^{(1/d)}} \quad (4)$$

La fonction s'écrit :

$$x = x_0 + s * (\ln(F_1/F))^{1/d} \quad (5)$$

#### 1.2.1.3. Borne supérieure

$$F_1 = 1 \quad F_0 = \text{borne sup.}$$

$$F(x) = F_0 + (1 - F_0) * (1 - e^{-u^{(1/d)}}) \quad (6)$$

Fonction inverse :

$$x = x_0 + s * (\ln((1 - F_0) / (1 - F)))^{1/d} \quad (7)$$

#### 1.2.1.4. Calcul des paramètres

Le paramètre de position est connu ainsi que la fréquence de troncature. Le signe du paramètre d'échelle est imposé à priori suivant la borne.

La méthode la plus simple consiste à passer par les moments non-centrés pour l'évaluation des paramètres des lois.

Posons :

$R_1 = (1/N) * \sum (x_i - x_0) = s * \Gamma(d+1) = S_1$  ceci sachant que le moment non-centré de la variable réduite (ordre i) est :

$m_i = \Gamma(i+d+1) \text{ de même :}$

$$R_2 = \sum (x_i - x_0)^2 / \sum (x_i - x_0) = s * \Gamma(2*d+1) / \Gamma(d+1) = S_2 / S_1$$

$S_1$  et  $S_2$  étant les 2 premiers moments.

R<sub>1</sub> et R<sub>2</sub> étant connu, l'équation (1) peut se résoudre, soit par approximations successives, soit en utilisant des tables qui donnent la valeur du rapport R<sub>1</sub>/R<sub>2</sub> en fonction de d :

$$R_2/R_1 = \Gamma(2d+1)/(\Gamma(d+1))^2 \quad (8)$$

s est alors calculé par :

$$s = R_1/\Gamma(d+1) \quad (9)$$

En calcul automatique la fonction  $\Gamma$  est présente en bibliothèque, le rapport R<sub>2</sub>/R<sub>1</sub> étant connu, un calcul itératif donne d à partir de l'équation (8).

#### 1.2.1.5. Efficacité des lois

Elle a été étudiée par Y. BRUNET-MORET qui est arrivé à la conclusion suivante :

- "Au point de vue efficacité, la méthode des moments pour déterminer les paramètres d'échelle et de forme (le par. de position étant connu) est acceptable lorsque la valeur du paramètre de forme de la population mère est de l'ordre de .5, médiocre si cette valeur est inférieure à .05 ou supérieure à 1."

Le tableau n°1 fourni en annexe permet de calculer les valeurs du paramètre de forme pour les valeurs du rapport R<sub>2</sub>/R<sub>1</sub> comprises entre 1 et 2. Ce qui correspond à un intervalle de variation de d compris entre 0 et 1.

La figure n°1 représente l'efficacité relative de la méthode des moments non-centrés en fonction de d.

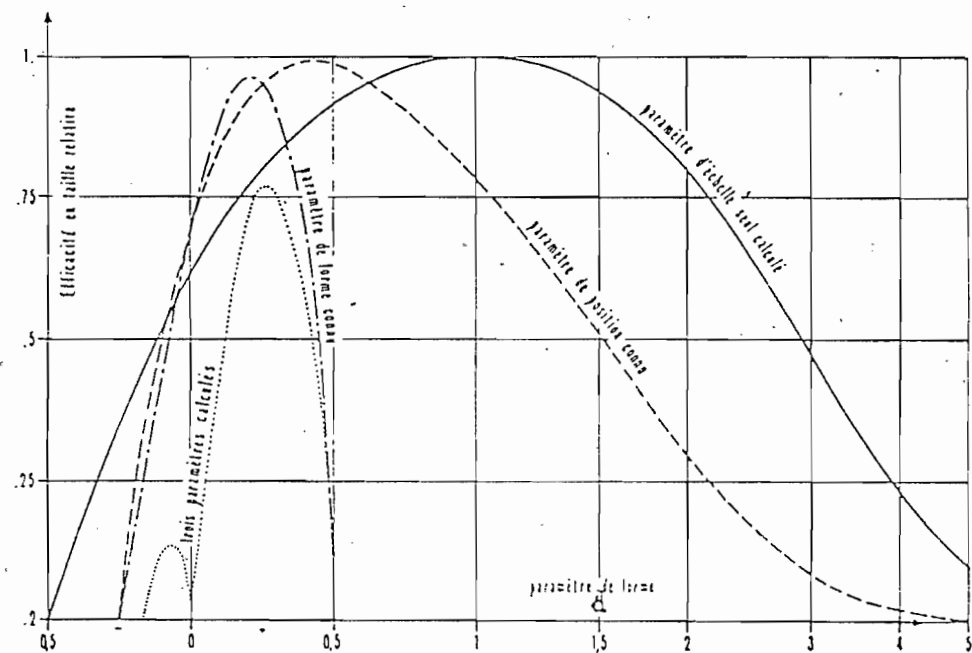
Dans la première colonne du tableau n°1 se trouvent les valeurs de d, dans la deuxième celles de  $\Gamma(d+1)$  et dans la troisième celle du rapport R<sub>2</sub>/R<sub>1</sub>.

DELTA	4	5	DELTA	4	5	DELTA	4	5
0.0	1.00000	1.00000	0.25	0.90450	1.07870	0.512	0.80423	1.27324
0.01	.00012	.00016	0.26	.00020	.00078	0.52	.00038	.00092
0.02	.00023	.00016	0.27	.00040	1.01442	0.53	.00055	1.29116
0.03	.00034	.00016	0.28	.00049	.00095	0.54	.00073	.01009
0.04	.00045	.00016	0.29	.00058	1.09457	0.55	.00093	.01025
0.05	.00055	.00016	0.30	.00067	.00113	0.56	.00113	.01042
0.06	.00065	.00016	0.31	.00076	.00148	0.57	.00131	.01059
0.07	.00075	.00016	0.32	.00085	.00170	0.58	.00148	.01076
0.08	.00085	.00016	0.33	.00094	1.10247	0.59	.00164	.01092
0.09	.00095	.00016	0.34	.00103	.00147	0.60	.00181	.01109
0.10	.00105	.00016	0.35	.00112	.00173	0.61	.00198	.01125
0.11	.00115	.00016	0.36	.00121	.00204	0.62	.00215	.01142
0.12	.00125	.00016	0.37	.00130	.00234	0.63	.00231	.01159
0.13	.00135	.00016	0.38	.00139	.00263	0.64	.00247	.01176
0.14	.00145	.00016	0.39	.00148	.00292	0.65	.00263	.01192
0.15	.00155	.00016	0.40	.00157	.00321	0.66	.00279	.01209
0.16	.00165	.00016	0.41	.00166	.00349	0.67	.00295	.01226
0.17	.00175	.00016	0.42	.00175	.00378	0.68	.00311	.01242
0.18	.00185	.00016	0.43	.00184	.00406	0.69	.00327	.01259
0.19	.00195	.00016	0.44	.00193	.00434	0.70	.00343	.01276
0.20	.00205	.00016	0.45	.00202	.00462	0.71	.00359	.01292
0.21	.00215	.00016	0.46	.00211	.00490	0.72	.00375	.01309
0.22	.00225	.00016	0.47	.00220	.00518	0.73	.00391	.01325
0.23	.00235	.00016	0.48	.00229	.00546	0.74	.00407	.01342
0.24	.00245	.00016	0.49	.00238	.00574	0.75	.00423	.01359
0.25	.00255	.00016	0.50	.00247	.00602	0.76	.00439	.01376

TABLEAU n° 1

DELTA	4	5	DELTA	4	5
0.75	0.91906	1.57379	1.00	1.00000	2.00000
0.76	.00231	.01444	1.01	.00427	.02013
0.77	.00235	.01465	1.02	.00435	.02039
0.78	.00244	.01484	1.03	.00444	.02065
0.79	.00254	.01503	1.04	.00452	.02092
0.80	.00264	.01522	1.05	.00460	.02119
0.81	.00275	.01541	1.06	.00469	.02146
0.82	.00285	.01560	1.07	.00477	.02174
0.83	.00295	.01579	1.08	.00486	.02202
0.84	.00305	.01598	1.09	.00495	.02230
0.85	.00315	.01617	1.10	.00504	.02259
0.86	.00325	.01636	1.11	.00512	.02288
0.87	.00335	.01655	1.12	.00521	.02317
0.88	.00345	.01674	1.13	.00532	.02346
0.89	.00354	.01693	1.14	.00541	.02375
0.90	.00364	.01712	1.15	.00550	.02404
0.91	.00374	.01731	1.16	.00559	.02433
0.92	.00384	.01750	1.17	.00567	.02463
0.93	.00394	.01769	1.18	.00576	.02492
0.94	.00404	.01788	1.19	.00585	.02522
0.95	.00414	.01807	1.20	.00594	.02551
0.96	.00424	.01826	1.21	.00604	.02580
0.97	.00434	.01845	1.22	.00614	.02609
0.98	.00442	.01864	1.23	.00624	.02638
0.99	.00451	.01883	1.24	.00634	.02667
1.00	.00460	.01902	1.25	.00644	.02696

FIGURE n° 1



## 2. HAUTEURS MOYENNES DECADAIRIES CALCULEES

Dans ce qui suit est présenté un exemple d'analyse. La décade retenue est la 2ème décade d'août (n°23 ou 8.3).

Le tableau n°2 contient les HMD observées à DOUNA, dans le tableau suivant (n°3) se trouvent ses HMD classées en ordre décroissant.

### 2.1. Analyse des HMD d'une décade

Le tableau n°4 présente les résultats de l'analyse automatique. On y trouve les HMD classées en ordre décroissant et leurs fréquences correspondantes.

En analyse automatique le programme réalisé par le micro-ordinateur figure les HMD classées en abscisses graduées en variables réduites de GAUSS. Les valeurs  $H_0$  et  $F_0$  inscrites dans le tableau sont entrées au clavier et le calcul des paramètres se fait automatiquement. Les lois de GAUSS et GAMMA se trouvant dans la bibliothèque du micro.

Les valeurs des paramètres  $H_0$ ,  $F_0$ ,  $D_1$ ,  $S_1$ ,  $D_2$ ,  $S_2$  sont emmagasinées en mémoire sous forme d'un fichier à 36\*6 dim. dans le cas d'une seule troncature. Dans certains cas il est nécessaire de calculer un nouvel ajustement en introduisant une nouvelle troncature appelée "basse" qui correspond à un phénomène physique identifiable dans presque tous les cas.

Dans le tableau n°5 sont reportées les valeurs des paramètres, 6 colonnes s'il n'y a qu'une seule troncature et 12 s'il y en a 2. Les valeurs de la ligne correspondante sont égales à 0 des colonnes 7 à la 12. Pour DOUNA 18 décades présentent le cas de double troncature.

La figure n°2 présente l'ajustement de la loi sur l'échantillon de la décade 8.3. Cette loi, constituée de 2 lois tronquées, est définie par les paramètres du tableau n°4.

### 2.2. Tableau des valeurs des HMD en fonction de F

Le tableau n°6 contient l'application du tableau n°5. Les équations (5) et (7) donnent la valeur de H en fonction de F. Le calcul est effectué par l'ordinateur qui donne le tableau directement sur l'imprimante. Chaque colonne correspond à une décade, les paramètres des équations ci-dessus se trouvent dans la ligne dont le n° est celui de la décade dans le tableau n°5.

Dans le cas de 2 troncatures, les 6 premiers paramètres donnent les valeurs calculées ( $F(F_1)$ ), les 6 suivants donnent les valeurs de H pour  $F(F_2)$ . Entre  $F_1$  et  $F_2$  c'est la valeur moyenne donnée par les 2 séries de paramètres qui est choisie.

### 2.3. Extensions des HMD de DOUNA

La méthode ci-dessus a été appliquée à MOPTI, elle a conduit au tableau n°7.

SIGHTINGS

Tableau n°2

HMD OBSERVEES A L'ECHELLE DE CRUE EN CMS -ZERO = 270,712 • NG

Tableau n°

STATION: DOUNA

**HAUTEURS MOYENNES DÉCADAIRES CLASSEES**  
**(Cotes relatives en cas)**

Zero de l'Echelle = 270.712

Tableau n°4.1

STATION: MOPTI SUR LE FLEUVE BANI

HAUTEURS MOYENNES DE LA DECADE 23

TAILLE DE L'ECHANTILLON : 47

1	0.011	561	2	0.032	555	3	0.053	552	4	0.074	528	5	0.096	526	6	0.117	520	7	0.138	520	8	0.160	516	9	0.181	512	10	0.202	514
2	0.039	492	3	0.059	422	4	0.079	471	5	0.099	457	6	0.120	452	7	0.141	450	8	0.162	446	9	0.183	442	10	0.204	438			
3	0.062	397	4	0.083	367	5	0.094	375	6	0.113	362	7	0.134	356	8	0.155	351	9	0.176	347	10	0.197	343	11	0.218	342			

DISTRIBUTION EXPONENTIELLE GENERALISEE - LOIS IRONQUES AVEC BORNE INFERIEURE ET SUPERIEURE

PARAMETRES DES DEUX DISTRIBUTIONS : (1) borne inferieure - (2) borne superieure

H0= .429      F0= .58      G1= .4290331939731      S1= 76.96597522457

G2= .2022591808541      S2= -31.74712660973

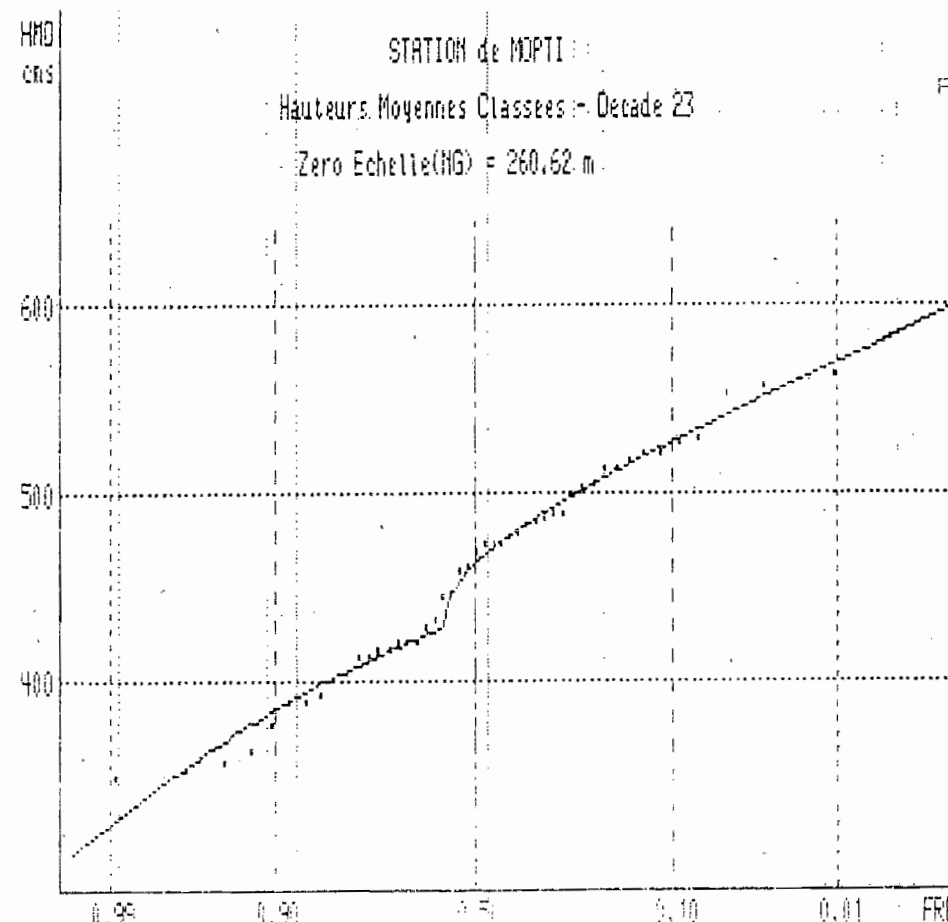


Figure n°2.1

STATION: DOUNA SUR LE FLEUVE SANKH  
HAUTEURS MOYENNES DE LA DÉCADA 22  
TAILE DE L'ÉCHANTILLON : 46

Tableau n°4.2

1	0.011	618	2	0.033	582	3	0.054	555	4	0.076	504	5	0.098	484	6	0.120	483	7	0.141	479	8	0.163	465	9	0.185	453	10	0.207	449
11	0.228	432	12	0.250	425	13	0.272	424	14	0.293	426	15	0.315	410	16	0.337	405	17	0.359	377	18	0.380	356	19	0.402	344	20	0.424	335
21	0.446	339	22	0.467	337	23	0.489	319	24	0.511	315	25	0.533	305	26	0.554	296	27	0.576	295	28	0.598	295	29	0.620	293	30	0.641	292
31	0.683	275	32	0.685	272	33	0.707	242	34	0.728	228	35	0.750	218	36	0.772	226	37	0.793	219	38	0.815	208	39	0.837	204	40	0.859	189
41	0.889	193	42	0.902	178	43	0.924	177	44	0.946	168	45	0.967	142	46	0.989	141												

DISTRIBUTION EXPONENTIELLE GÉNÉRALISÉE - LES TONNOIERS AVEC BORNE INFÉRIEURE ET SUPÉRIEURE

PARAMÈTRES DES DEUX DISTRIBUTIONS : (1) borne inférieure - (2) borne supérieure

$$H_0 = 365 \quad F_0 = 77 \quad D_0 = 1.6895127655941 \quad S_1 = 97.95536589518$$

$$D_2 = 117542912963 \quad S_2 = -142.6593548523$$

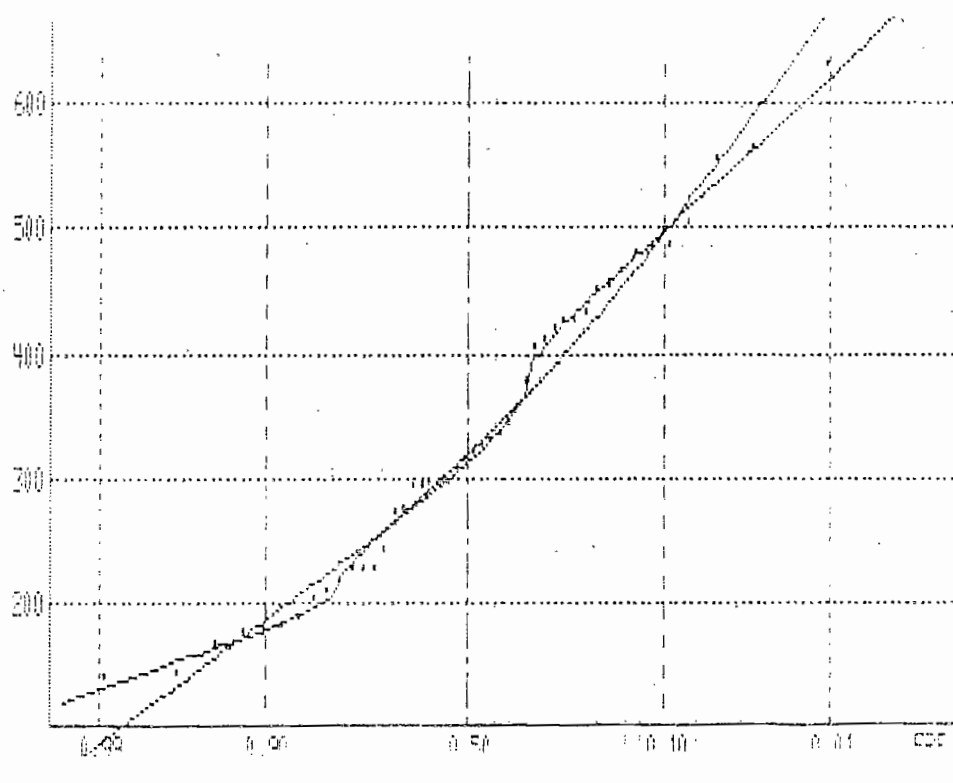
DISTRIBUTION EXPONENTIALLE GÉNÉRALISÉE - LES TONNOIERS AVEC BORNE INFÉRIEURE ET SUPÉRIEURE

PARAMÈTRES DES DEUX DISTRIBUTIONS : (1) borne inférieure - (2) borne supérieure

$$H = 212 \quad F = 18 \quad D = 1.697532758911 \quad S_1 = 177.5878860056$$

$$D_2 = 1.629871674175 \quad S_2 = -39.81050358175$$

Figure n°2.2



## TEST D'ADEQUATION

Tableau n°3bis

## APPLICATION

## 1. HMD DOUNA

## 1.1. Décade n°22

$$N = 46 \quad F_0 = .35 \quad x_0 = 385 \quad d_1 = .6885127656 \quad s_1 = 97.955366 \\ d_2 = .5173542923 \quad s_2 = -142.6594$$

Séparation de l'échantillon en 8 classes :

Classes	$n_i$	$v_i$	Borne supérieure
100-160	2	2.016	$F(x) = F_0 + (1-F_0) * (1 - e^{(-v_i(1/d))})$
160-220	5	3.049	
220-280	7	6.443	
280-340	7	8.533	
340-385	9	9.796	
385-450	7	8.525	Borne inférieure
450-550	6	3.729	
550-700	3	2.123	$F(x) = F_1 * e^{(-v_i(1/d))}$

$$X_2 = \sum ((n_i - v_i)^2 / v_i)$$

Dans ce cas :  $X_2 = 3.655$  pour 8-3-1 degrés de liberté,  $X_2$  a donc une probabilité >10% d'être dépassé, l'ajustement est satisfaisant.

## 1.2. Décade n°23

$$N = 47 \quad F_0 = .58 \quad x_0 = 429 \quad s_1 = 76.965975 \quad d_1 = .420332 \\ s_2 = -31.74713 \quad d_2 = .902254$$

8 classes :

200-380	5	3.913
380-410	5	7.292
410-429	6	5.593
429-460	5	3.084
460-480	6	5.593
480-500	6	6.679
500-520	5	5.683
520-600	7	6.176

$$X_2 = 2.536 \quad \text{pour } v = 4$$

Probabilité de dépassement de  $X_2$  supérieure à 10%, ajustement satisfaisant.

Tableau n°7

## PARAMETRES DES LOIS TRONQUEES AJUSTEES AUX ECHANTILLONS DES HAUTEURS

DECADAIRES DE LA STATION DE DOUNA

N	H1	F1	D1	S1	D2	S2	H2	F2	D1	S1	D2	S2
1	172.0	0.600	0.68014	59.346	0.52436	-66.307	0.0	0.000	0.00000	0.000	0.00000	0.000
2	187.0	0.270	0.25177	53.295	0.82417	-57.931	85.0	0.800	0.42741	110.778	0.73355	-14.097
3	170.0	0.270	0.34882	47.627	0.75786	-58.242	77.0	0.800	0.45293	97.242	0.51300	-17.347
4	150.0	0.290	0.36278	44.787	0.75445	-53.094	85.0	0.730	0.50899	75.170	0.48477	-29.356
5	152.0	0.230	0.34698	27.869	0.57834	-67.269	73.0	0.700	0.48075	71.496	0.50276	-22.265
6	82.0	0.650	0.58124	50.039	0.43932	-33.424	0.0	0.000	0.00000	0.000	0.00000	0.000
7	75.0	0.600	0.55399	47.386	0.51838	-29.247	0.0	0.000	0.00000	0.000	0.00000	0.000
8	81.0	0.500	0.76251	28.656	0.50690	-36.709	0.0	0.000	0.00000	0.000	0.00000	0.000
9	34.0	0.780	0.50103	52.004	0.67588	-6.232	0.0	0.000	0.00000	0.000	0.00000	0.000
10	49.0	0.650	0.70914	28.141	0.36456	-22.267	0.0	0.000	0.00000	0.000	0.00000	0.000
11	40.0	0.700	0.69916	27.442	0.25067	-17.944	0.0	0.000	0.00000	0.000	0.00000	0.000
12	38.0	0.700	0.64048	26.167	0.35918	-17.055	0.0	0.000	0.00000	0.000	0.00000	0.000
13	41.5	0.700	0.69134	21.787	0.39685	-17.365	0.0	0.000	0.00000	0.000	0.00000	0.000
14	48.5	0.500	0.63893	22.675	0.76947	-14.254	0.0	0.000	0.00000	0.000	0.00000	0.000
15	54.0	0.500	0.67025	13.250	0.56307	-18.586	0.0	0.000	0.00000	0.000	0.00000	0.000
16	57.0	0.500	0.75063	14.636	0.63508	-15.305	0.0	0.000	0.00000	0.000	0.00000	0.000
17	60.0	0.500	0.95934	26.218	0.93001	-10.552	0.0	0.000	0.00000	0.000	0.00000	0.000
18	80.0	0.500	0.90958	23.295	0.62026	-18.628	0.0	0.000	0.00000	0.000	0.00000	0.000
19	102.0	0.500	0.95902	28.877	0.79572	-19.188	0.0	0.000	0.00000	0.000	0.00000	0.000
20	185.0	0.230	0.43282	50.436	0.40398	-79.003	101.0	0.750	0.83701	64.641	0.53971	-23.773
21	219.0	0.430	0.58911	99.968	0.54208	-80.405	131.0	0.810	0.70823	125.948	0.47333	-33.875
22	385.0	0.350	0.68851	97.955	0.51735	-142.659	212.0	0.800	0.64808	177.588	0.62989	-39.811
23	320.0	0.850	0.61613	194.860	0.68849	-63.633	0.0	0.000	0.00000	0.000	0.00000	0.000
24	657.0	0.370	0.60231	89.288	0.72819	-162.461	0.0	0.000	0.00000	0.000	0.00000	0.000
25	717.5	0.500	0.45982	114.090	0.84381	-152.288	0.0	0.000	0.00000	0.000	0.00000	0.000
26	820.0	0.400	0.46051	85.310	0.89836	-170.216	660.0	0.770	0.44429	192.452	0.58007	-183.718
27	840.5	0.500	0.66899	81.631	0.82977	-204.812	580.0	0.850	0.37679	297.463	0.52661	-143.963
28	813.0	0.600	0.65486	101.101	0.62470	-258.955	540.0	0.850	0.37340	337.203	0.54703	-134.492
29	816.0	0.500	0.94207	71.975	0.67865	-268.627	470.0	0.850	0.38165	370.712	0.59527	-109.231
30	685.0	0.520	0.62992	140.493	0.57105	-248.712	388.0	0.850	0.46715	361.695	0.78615	-82.755
31	490.0	0.600	0.55886	210.039	0.63590	-164.327	352.0	0.780	0.52840	298.464	0.58403	-97.034
32	400.0	0.570	0.63680	177.292	0.68760	-124.242	265.0	0.800	0.56851	258.327	0.61018	-57.916
33	365.0	0.500	0.95798	100.188	0.54150	132.451	213.0	0.830	0.64731	199.368	0.54948	-47.129
34	295.5	0.500	0.96673	73.706	0.64814	-98.669	167.0	0.850	0.61905	166.964	0.52551	-37.023
35	229.0	0.600	0.82384	76.224	0.60442	-79.384	137.0	0.840	0.52046	148.624	0.64054	-27.224
36	188.0	0.600	0.66593	76.356	0.69413	-57.607	145.0	0.770	0.55106	105.474	0.58925	-40.276

PARAMETRES DES LOIS TRONQUEES AJUSTEES AUX ECHANTILLONS DES HAUTEURS  
DECADAIRES DE LA STATION DE MOPTI

Tableau n°5bis

N	H1	F1	D1	S1	D2	S2	H2	F2	D1	S1	D2	S2
1	-355.0	0.600	0.51538	144.751	0.53464	-82.683	0.0	0.000	0.00000	0.000	0.00000	0.000
2	313.0	0.600	0.64268	115.785	0.59552	-79.893	0.0	0.000	0.00000	0.000	0.00000	0.000
3	266.0	0.600	0.65775	101.633	0.59576	-68.327	0.0	0.000	0.00000	0.000	0.00000	0.000
4	187.0	0.750	0.60887	116.509	0.68824	-34.081	0.0	0.000	0.00000	0.000	0.00000	0.000
5	180.0	0.700	0.64204	93.770	0.52145	-39.821	0.0	0.000	0.00000	0.000	0.00000	0.000
6	168.0	0.650	0.64318	81.650	0.46894	-46.860	0.0	0.000	0.00000	0.000	0.00000	0.000
7	112.0	0.800	0.57356	96.744	0.46821	-19.760	0.0	0.000	0.00000	0.000	0.00000	0.000
8	117.0	0.750	0.74580	65.937	0.66405	-27.977	0.0	0.000	0.00000	0.000	0.00000	0.000
9	88.0	0.820	0.74522	63.936	0.31899	-22.318	0.0	0.000	0.00000	0.000	0.00000	0.000
10	76.0	0.800	0.71244	59.707	0.29766	-18.901	0.0	0.000	0.00000	0.000	0.00000	0.000
11	65.0	0.750	0.64474	61.000	0.45271	-14.515	0.0	0.000	0.00000	0.000	0.00000	0.000
12	56.0	0.750	0.65721	60.866	0.31078	-14.009	0.0	0.000	0.00000	0.000	0.00000	0.000
13	68.0	0.600	0.65411	47.425	0.49732	-24.928	0.0	0.000	0.00000	0.000	0.00000	0.000
14	53.0	0.700	0.71938	45.197	0.37341	-18.963	0.0	0.000	0.00000	0.000	0.00000	0.000
15	46.0	0.750	0.70784	53.800	0.57203	-16.055	0.0	0.000	0.00000	0.000	0.00000	0.000
16	63.0	0.650	0.75960	59.020	0.72323	-21.150	0.0	0.000	0.00000	0.000	0.00000	0.000
17	79.0	0.650	0.67995	74.859	0.83792	-26.234	0.0	0.000	0.00000	0.000	0.00000	0.000
18	125.0	0.600	0.64734	83.494	0.58867	-56.419	0.0	0.000	0.00000	0.000	0.00000	0.000
19	203.0	0.530	0.69567	64.497	0.59115	-75.768	0.0	0.000	0.00000	0.000	0.00000	0.000
20	266.0	0.400	0.63424	70.098	0.70200	-60.781	0.0	0.000	0.00000	0.000	0.00000	0.000
21	322.0	0.400	0.72866	62.588	0.80459	-57.992	0.0	0.000	0.00000	0.000	0.00000	0.000
22	405.0	0.400	0.65761	48.486	0.60277	-81.772	0.0	0.000	0.00000	0.000	0.00000	0.000
23	429.0	0.580	0.49477	72.365	0.79705	-49.517	0.0	0.000	0.00000	0.000	0.00000	0.000
24	490.0	0.650	0.55573	57.360	0.81354	-43.092	0.0	0.000	0.00000	0.000	0.00000	0.000
25	546.0	0.630	0.63386	42.354	0.58420	-42.985	0.0	0.000	0.00000	0.000	0.00000	0.000
26	584.0	0.600	0.61561	36.666	0.45329	-48.358	0.0	0.000	0.00000	0.000	0.00000	0.000
27	603.0	0.600	0.50348	42.484	0.49524	-43.336	0.0	0.000	0.00000	0.000	0.00000	0.000
28	675.0	0.150	0.94855	10.543	0.67192	-62.815	570.0	0.850	0.44992	81.193	0.46072	-14.356
29	633.0	0.620	0.51178	44.447	0.63774	-49.973	0.0	0.000	0.00000	0.000	0.00000	0.000
30	636.0	0.620	0.49004	51.893	0.81667	-56.858	0.0	0.000	0.00000	0.000	0.00000	0.000
31	667.0	0.420	0.46248	38.806	0.88524	-78.776	0.0	0.000	0.00000	0.000	0.00000	0.000
32	651.0	0.420	0.37036	54.547	0.88867	-92.265	0.0	0.000	0.00000	0.000	0.00000	0.000
33	636.0	0.430	0.45232	56.511	0.79886	-124.577	0.0	0.000	0.00000	0.000	0.00000	0.000
34	663.5	0.200	0.54829	31.670	0.75499	-165.406	0.0	0.000	0.00000	0.000	0.00000	0.000
35	540.0	0.520	0.59319	82.117	0.43286	-182.056	0.0	0.000	0.00000	0.000	0.00000	0.000
36	465.0	0.530	0.57764	105.388	0.36644	-149.686	0.0	0.000	0.00000	0.000	0.00000	0.000

## DOUNA

HMO CALCULEES EN FONCTION DE F (en cms-hauteurs relatives)  
Zero de l'echelle = 270.712a NG

Tableau n°6

F(dep.)	JAN			FEV			MAR			AVR			MAI			JUI			JLT			AOU			SEP			OCT			NOV			DEC		
	1	2	3	4	5	6	7	8	9	10	11	12	13	14	15	16	17	18	19	20	21	22	23	24	25	26	27	28	29	30	31	32	33	34	35	36
0.01	327	259	242	220	193	197	178	162	143	127	115	104	101	103	87	98	157	161	209	268	437	620	808	850	931	976	1044	1067	1076	1019	952	832	735	593	472	383
0.05	282	248	227	205	184	169	153	135	120	104	94	87	84	87	77	84	118	130	166	246	376	540	690	793	885	940	983	996	974	925	839	712	588	474	390	329
0.10	260	240	218	196	178	154	140	122	109	93	84	78	76	79	72	78	101	116	148	232	344	499	631	762	859	919	953	961	929	877	781	652	523	422	352	301
0.20	235	226	201	181	166	137	125	108	95	81	72	68	67	70	66	71	84	102	129	207	304	451	565	724	827	892	917	921	882	822	711	583	457	369	311	269
0.50	191	163	144	128	113	105	93	81	69	60	53	51	52	49	54	57	60	80	102	130	199	317	452	601	718	788	827	826	789	680	559	441	353	288	245	212
0.80	117	85	77	69	59	56	51	46	33	31	26	26	29	35	36	43	50	62	84	90	137	212	355	477	576	601	683	658	597	486	327	265	237	196	168	132
0.90	93	74	63	56	50	45	40	34	29	25	22	20	23	28	30	36	44	55	74	78	104	180	286	404	490	495	487	458	406	347	268	219	180	144	120	109
0.95	75	67	56	47	43	37	32	25	26	21	19	17	19	21	24	31	37	49	65	70	92	163	252	337	410	425	422	398	354	299	230	194	160	128	107	93
0.99	41	33	47	33	32	24	17	8	21	14	16	12	12	8	14	21	22	37	45	56	75	133	194	200	236	304	327	368	272	207	164	152	129	105	85	66

## MOPTI

HMO CALCULEES EN FONCTION DE F (en cms-hauteurs relatives)  
Zero de l'echelle = 260.62a NG

Tableau n°7

F(dep.)	JAN			FEV			MAR			AVR			MAI			JUI			JLT			AOU			SEP			OCT			NOV			DEC		
	1	2	3	4	5	6	7	8	9	10	11	12	13	14	15	16	17	18	19	20	21	22	23	24	25	26	27	28	29	30	31	32	33	34	35	36
0.01	654	599	523	471	417	373	338	313	281	247	222	215	187	181	198	238	277	333	371	426	484	521	574	617	650	671	689	702	725	734	734	734	733	721	726	699
0.05	586	521	451	401	355	318	286	256	226	199	181	173	154	144	155	184	221	276	320	378	429	484	542	587	622	648	670	687	704	718	722	723	716	701	676	638
0.10	551	481	415	365	324	290	259	228	199	177	161	152	137	126	134	158	194	247	295	352	401	465	525	571	608	637	660	679	693	706	713	713	703	689	650	607
0.20	507	436	374	325	288	259	229	198	171	151	138	129	118	106	112	130	163	214	266	322	370	443	504	553	592	623	646	665	680	691	701	700	686	664	620	569
0.50	415	352	299	254	227	203	175	151	126	111	99	90	84	74	74	84	109	153	212	248	303	378	457	517	583	597	621	633	653	660	652	634	611	570	532	485
0.80	287	249	211	175	155	132	112	107	92	78	58	47	47	39	39	49	63	80	134	201	259	318	390	463	514	543	587	593	595	596	584	553	507	452	368	324
0.90	257	216	183	155	138	116	95	91	69	59	51	42	39	33	31	38	47	57	105	174	229	289	363	438	496	528	552	561	573	564	537	499	442	376	319	289
0.95	233	189	160	140	126	104	89	79	64	55	47	40	32	29	25	29	33	38	81	151	201	263	339	416	482	517	541	555	555	535	493	446	382	306	281	264
0.99	189	139	117	111	105	83	79	56	57	50	40	36	20	23	15	10	3	3	35	102	142	214	287	369	455	497	520	547	519	473	395	330	256	159	213	220

BENENI KEGNY  
 HMO CALCULEES EN FONCTION DE F (en cms-hauteurs relatives)  
 Zero de l'echelle = 265.89m NG

Tableau n°8

F (dep.)	JAN				FEV				MAR				AVR				MAI				JUI				JLT				AOU				SEP				OCT				NOV				DEC			
	1	2	3	4	5	6	7	8	9	10	11	12	13	14	15	16	17	18	19	20	21	22	23	24	25	26	27	28	29	30	31	32	33	34	35	36												
0.01	344	278	246	222	206	205	193	175	156	138	126	115	109	109	99	102	149	168	196	254	399	555	672	768	798	831	850	862	869	870	869	857	783	675	531	421												
0.05	301	257	231	206	195	182	166	148	132	115	104	96	92	93	87	89	116	134	165	228	350	498	614	701	732	811	837	853	860	859	842	790	658	530	428	353												
0.10	279	245	221	207	192	170	153	135	120	104	93	86	83	85	81	83	101	119	147	212	322	465	579	669	747	799	828	845	851	844	815	726	591	468	382	320												
0.20	252	227	203	192	179	154	136	120	106	91	81	76	74	75	74	76	87	103	128	185	284	423	532	632	726	781	816	832	836	820	763	655	516	405	333	283												
0.50	197	179	157	140	125	115	104	92	79	69	61	59	57	55	58	62	65	80	102	130	190	298	424	549	651	713	752	780	779	736	619	495	388	309	257	217												
0.80	124	102	86	77	68	63	59	53	43	37	33	31	33	39	41	46	54	65	84	95	131	194	325	452	550	597	638	668	632	542	376	284	243	213	184	150												
0.90	102	87	73	64	58	53	48	42	36	31	28	26	27	31	34	40	47	57	74	84	103	170	265	382	478	503	500	482	435	373	289	229	196	162	135	119												
0.95	89	76	66	56	50	45	40	33	31	28	25	23	23	26	29	34	41	51	66	75	92	154	233	323	403	434	437	418	377	319	245	210	178	145	120	104												
0.99	66	55	55	43	38	32	25	16	21	21	20	18	17	14	17	24	27	37	48	59	75	125	187	207	229	291	328	319	285	221	180	164	144	119	98	78												

SOFARA  
 HMO CALCULEES EN FONCTION DE F (en cms-hauteurs relatives)  
 Zero de l'echelle = 262.76m NG

Tableau n°9

F (dep.)	JAN				FEV				MAR				AVR				MAI				JUI				JLT				AOU				SEP				OCT				NOV				DEC			
	1	2	3	4	5	6	7	8	9	10	11	12	13	14	15	16	17	18	19	20	21	22	23	24	25	26	27	28	29	30	31	32	33	34	35	36												
0.01	442	379	321	286	262	251	243	222	197	170	150	136	125	118	113	103	139	191	222	272	357	467	534	592	647	667	684	697	704	709	711	711	706	673	611	518												
0.05	392	341	299	266	245	229	210	185	161	141	124	105	94	90	88	83	100	140	181	240	329	434	506	563	613	643	670	688	698	704	705	698	674	602	518	452												
0.10	365	321	285	261	243	219	192	166	147	128	104	88	79	76	76	73	86	115	150	220	310	413	490	546	597	634	664	683	694	699	697	684	640	558	478	418												
0.20	330	293	263	240	224	199	169	149	131	103	83	69	62	60	62	61	69	91	128	193	279	385	469	523	578	622	654	675	687	691	684	658	598	508	436	374												
0.50	256	227	200	172	156	143	124	103	82	62	48	38	33	32	30	36	42	52	83	128	197	294	388	471	535	583	617	640	657	660	638	575	495	419	347	291												
0.80	163	134	97	74	61	49	41	33	24	8	-1	-8	-11	-8	1	6	14	29	53	83	123	203	300	407	487	532	556	568	575	559	513	403	323	280	241	197												
0.90	120	97	73	53	41	32	24	16	7	-4	-11	-16	-20	-18	-11	-5	3	16	38	56	87	158	262	360	448	492	500	497	490	459	397	319	259	213	170	147												
0.95	102	77	58	42	29	21	13	3	-8	-12	-17	-22	-25	-24	-20	-15	-6	4	24	50	71	140	236	323	404	452	466	466	451	414	343	279	235	189	156	131												
0.99	63	42	29	24	8	0	-8	-21	-36	-26	-28	-30	-33	-35	-39	-34	-24	-18	-1	18	40	90	168	241	268	309	362	383	365	311	240	206	179	154	125	89												

## PARAMETRES DU MODELE DE PROPAGATION

Tableau n°10

BIEF: DOUNA / BK

PERIODE UTILISEE POUR LE CALAGE: 1966 à 1982

1	0.000000000	5	4.720000000	9	-23.625400000
2	0.000000000	6	-0.000000457	10	0.000000000
3	0.000000000	7	0.000257610	11	-0.001537970
4	1.023470000	8	1.060600000	12	3.288180000
13	-887				
14	200				
15	800.000000000	19	0.000000000	23	3.750000000
16	0.000000000	20	0.000000006	24	0.000000000
17	0.000000000	21	0.000015888	25	0.000000000
18	0.000000000	22	-0.009623100	26	0.000000000
27	0				
28	-100				

## PARAMETRES DU MODELE DE PROPAGATION

BIEF: DOUNA / SOFARA

PERIODE UTILISEE POUR LE CALAGE: 1975 à 1976

1	0.000089439	5	0.000000000	9	0.000000626
2	-0.016184500	6	0.000000000	10	-0.001682689
3	2.281640000	7	1.600000000	11	1.783180000
4	-58.540000000	8	-61.000000000	12	-24.180000000
13	100				
14	200				
15	0.000000000	19	-0.000000141	23	0.000000000
16	0.000000000	20	0.000666768	24	-0.000020517
17	0.000000000	21	-0.107303200	25	0.039990500
18	10.000000000	22	14.390000000	26	1.858000000
27	60				
28	180				

BAC de DJENNE  
 HMD CALCULEES EN FONCTION DE F (en m-s-hauteurs relatives)  
 Zéro de l'échelle = 264.14m NG

Tableau n°11

F (dep.)	JAN			FEV			MAR			AVR			MAI			JUI			JLT			AOU.			SEP			OCT			NOV			DEC		
	1	2	3	4	5	6	7	8	9	10	11	12	13	14	15	16	17	18	19	20	21	22	23	24	25	26	27	28	29	30	31	32	33	34	35	36
0.01	327	266	232	208	192	190	179	162	144	127	114	103	97	97	88	89	131	152	178	231	357	495	597	675	705	731	748	758	764	765	764	755	701	617	500	399
0.05	266	244	217	193	181	168	153	136	121	105	93	85	80	81	76	77	101	119	148	206	315	445	551	623	674	714	736	750	757	756	744	705	606	498	404	335
0.10	265	231	207	193	178	157	140	123	109	94	83	76	72	73	70	71	87	105	131	189	291	416	520	597	660	704	729	743	749	745	723	657	553	442	362	304
0.20	238	213	190	178	165	142	125	109	95	81	71	65	63	64	63	65	74	90	113	165	256	379	479	567	643	689	719	733	737	726	684	601	486	385	317	269
0.50	183	166	145	128	113	103	93	81	69	59	51	47	47	45	47	51	54	67	88	114	169	269	381	492	582	634	667	691	692	661	574	466	369	296	244	205
0.80	113	92	76	67	58	53	49	44	34	28	24	22	23	28	31	36	42	53	71	82	115	172	291	405	496	542	576	601	578	505	364	274	230	200	172	140
0.90	91	77	63	54	48	43	38	33	27	22	19	17	18	21	24	29	36	46	62	71	89	149	238	344	431	460	460	445	406	352	279	218	183	151	124	108
0.95	79	66	56	46	41	36	30	24	21	18	16	14	14	16	19	24	30	39	53	63	79	134	208	293	366	398	403	388	353	303	235	197	166	135	110	94
0.99	56	46	44	34	28	23	16	8	11	12	11	9	8	6	7	14	17	26	37	47	62	107	166	190	211	266	303	299	269	211	169	151	132	109	88	69

SARE MALA  
 HMD CALCULEES EN FONCTION DE F (en m-s-hauteurs relatives)  
 Zéro de l'échelle = 261.00m NG

Tableau n°12

F (dep.)	JAN			FEV			MAR			AVR			MAI			JUI			JLT			AOU			SEP			OCT			NOV			DEC		
	1	2	3	4	5	6	7	8	9	10	11	12	13	14	15	16	17	18	19	20	21	22	23	24	25	26	27	28	29	30	31	32	33	34	35	36
0.01	617	559	489	443	401	368	343	329	290	259	235	226	204	198	206	229	266	321	357	410	477	541	599	647	688	709	727	740	757	764	765	765	762	743	723	673
0.05	555	495	435	391	354	325	298	269	242	218	200	188	172	164	170	187	217	266	309	367	432	505	568	618	658	686	710	726	742	752	755	753	740	705	658	610
0.10	523	463	408	367	334	304	274	245	220	198	180	169	156	147	153	167	194	239	282	344	408	486	552	601	644	675	701	720	733	743	747	742	720	681	628	578
0.20	482	424	373	334	305	276	246	220	196	173	157	147	137	129	133	144	168	209	256	314	377	461	531	581	626	662	699	708	722	731	734	724	694	647	593	538
0.50	397	346	303	264	240	220	196	173	149	133	120	110	105	98	98	106	124	156	205	244	307	385	471	540	592	631	659	675	694	700	687	652	609	555	517	454
0.80	281	247	209	178	160	142	126	119	107	91	76	67	65	62	65	73	85	101	144	198	250	316	397	482	543	578	602	623	627	622	598	539	480	429	362	317
0.90	246	212	183	157	142	125	109	103	86	76	68	61	57	54	55	62	71	81	120	175	217	281	366	449	518	554	573	577	582	565	526	473	415	357	305	277
0.95	225	188	163	144	130	113	101	91	77	70	63	57	51	49	48	52	58	65	100	154	194	258	341	422	493	533	553	562	557	531	478	425	368	303	275	255
0.99	183	143	125	119	109	93	87	68	63	61	55	51	40	42	35	33	33	35	61	111	144	208	284	362	427	468	502	527	503	454	378	325	268	196	221	211

Le calage du modèle de propagation des crues entre DOUNA et SOFARA a permis d'extrapoler la matrice des HMD calculées en fonction de DOUNA (BENENI KEGNY et SOFARA).

Connaissant la cote de la station amont le modèle permet de déterminer la cote aval d'un bief avec un délai donné qui correspond au temps de propagation de l'onde de crue. ce temps est fonction de la cote de la station amont.

Chaque bief est caractérisé par 28 paramètres :

- 12 représentant 3 polynômes traduisant la régression entre cotes en régime permanent.
- 2 correspondent aux limites des tranches de hauteurs de la station amont, limites de validité des polynômes.
- 12 représentent 3 pol. caractérisant le temps de propagation.
- 2 correspondent aux limites des pol. "temps".

Le tableau n°10 contient les paramètres caractéristiques des biefs DOUNA/BENENI KEGNY et DOUNA/SOFARA.

Exemple :

- Calcul de la cote de BK à partir de DOUNA :

Cote de DOUNA le 25/8 : 422 cms      le 24/8 : 401 cms

Les paramètres 5 à 8 donnent les cotes à BK :

H24 = 413.63    H25 = 435.48    DH = 21.85 cms

T24 = 2.8      T25 = 2.93      DT = 1.13 jours

$$HBK = 413.63 + 2 * (21.85 / 1.13) = 417.5 \text{ cms}$$

### 2.3.1. HMD fonction de F à DJENNE

Elles sont calculées à partir de celles de BK en utilisant les relations suivantes :

$$HBK < 300 \quad HDj = .965 * HBK - 8.5 \quad (\text{cms})$$

$$300 \leq HBK \leq 600 \quad HDj = .8933 * HBK + 13 \quad ("")$$

$$HBK > 600 \quad HDj = .8 * HBK + 69 \quad ("")$$

### 2.3.2. HMD fonction de F à SARE MALA

L'interpolation est effectuée entre SOFARA et MOPTI pour les mêmes décades, en fonction des distances aux 2 stations :

$$\text{MOPTI} - \text{SARE MALA} = 26.3 \text{ kms} \quad \text{MOPTI} - \text{SOFARA} = 72.7 \text{ kms}$$

$$\text{Coefficient d'interpolation : } k = .36176 = 26.3 / 72.7$$

Station: DOUNA

Tableau n°13

Paramètres de la transformation H/Q

Nombre de tronçons: 7 Coef. de cor. de gradient: 0

a=	86.785698	67.579369	18.601191	22.566086	49.062294	0.000000	58.518520
b=	-0.007143	36.542065	76.934502	91.947128	114.521713	372.000000	381.111110
Qmin=	0.000000	3.470000	19.000000	42.000000	122.000000	763.000000	1600.000000
Hmin=	0.040000	0.240000	0.520000	0.800000	1.600000	4.250000	6.500000

Station: BENENI KEGNY

Paramètres de la transformation H/Q

Nombre de tronçons: 6 Coef. de cor. de gradient: .0255

a=	14.667000	67.111000	22.000000	17.500000	34.000000	77.778000
b=	17.132999	23.308001	135.000000	189.500000	286.000000	403.329990
Qmin=	1.600000	6.800000	56.000000	213.000000	662.000000	1370.000000
Hmin=	0.050000	0.300000	1.000000	2.000000	4.000000	6.000000

Station: SOFARA

Paramètres de la transformation H/Q

Nombre de tronçons: 5 Coef. de cor. de gradient: .0387

a=	16.867001	38.000000	15.000000	27.500000	41.111000
b=	0.527000	20.000000	81.500000	115.500000	235.000000
Qmin=	0.020000	4.500000	62.500000	159.000000	500.000000
Hmin=	-0.500000	0.000000	1.000000	2.000000	4.000000

Station: MOPTI

Paramètres de la transformation H/Q

Nombre de tronçons: 7 Coef. de cor. de gradient: .03

a=	100.000000	33.333000	32.000000	106.000000	78.000000	70.000000	168.320007
b=	-2.500000	66.667000	130.000000	195.000000	414.000000	715.000000	777.340030
Qmin=	0.000000	15.000000	67.000000	229.000000	530.000000	1570.000000	2455.000000
Hmin=	0.000000	0.400000	1.000000	2.000000	3.000000	5.000000	6.000000

La cote de SARE MALA (zéro de l'échelle imposé fictivement : 261.00 m) est tiré de l'équation d'interpolation linéaire :

$$HSM = HMo + k*(HS0-HMo) + 39.4 \quad (\text{cm}) \quad (2.2)$$

Les tableaux n°11 et 12 contiennent les valeurs de H en fonction de F au dépassement.

#### 2.4. Débits moyens décadiaires

Les débits sont directement calculés à partir des matrices de HMD(F). Les stations sont toutes à étalonnages non bi-univoques, les traductions sont faites en utilisant le gradient limnimétrique journalier G(cm/j) et la courbe d'étalonnage en régime uniforme (G=0).

Cette courbe est représentée par des tronçons de paraboles, le débit est donné par :

$$Q = a*(H-Hmin)^2 + b*(H-Hmin) + c \quad (2.3)$$

Hmin = limite inférieure du tronçon de parabole.

$$G = (H(i)-H(i-1))/(JD(i)-JD(i-1)) \quad (\text{cm/j}) \quad (2.4)$$

i = n° de la décade. H(i) = hauteur de la décade i.  
JD(i) = jour auquel est rapporté la hauteur de la décade i.

##### 2.4.1. QMD DOUNA

La courbe d'étalonnage de DOUNA est bi-univoque, les paramètres de transformation sont contenus dans le tableau n°12. Le tableau n°13 contient les valeurs décadiaires du débit en fonction de la fréquence.

##### 2.4.2. QMD BENENI KEGNY - SOFARA et MOPTI

Ces 3 stations ne sont pas bi-univoques. Les tableau n°12 contiennent les valeurs des paramètres caractérisant les courbes en régime uniforme et les valeurs des coefficients de correction de gradient qui permettent de traduire les hauteurs en débits à l'aide des équations 2.3 et 2.4. Les traductions des tableaux de HMD en fonction de F sont numérotées de 14 à 16 pour ces 3 stations.

L'équation 2.5 donne la valeur du débit instantané en fonction du débit en régime uniforme qui correspond à la cote à traduire :

Soit  $Q_0$  le débit donné par 2.3 en fonction de H et Q le débit réel :

$$Q = Q_0 * (1+k*G)^{0.5} \quad (2.5)$$

Q et  $Q_0$  en m<sup>3</sup>/s - G en cm/j - k = coef. de correction de gradient.

Lorsque G devient < -16.7 cm/j, le produit k\*G est limité à -0.50. Cela correspond à une diminution du débit réel en décrue qui ne dépasse pas 50% de la valeur de ce même débit en régime uniforme.

## DOUNA

Tableau n°14

QMD CALCULES EN FONCTION DE F (en m<sup>3</sup>/s)

F (dep.)	JAN		FEV		MAR		AVR		MAI		JUI		JUL		AOU		SEP		OCT		NOV		DEC													
	1	2	3	4	5	6	7	8	9	10	11	12	13	14	15	16	17	18	19	20	21	22	23	24	25	26	27	28	29	30	31	32	33	34	35	36
0.01	447	282	249	207	166	171	145	124	102	85	74	63	60	62	48	57	119	123	189	301	808	1487	2350	2599	3134	3461	4008	4211	4287	3802	3283	2495	1967	1390	940	617
0.05	334	260	221	183	153	132	114	94	79	63	54	48	45	48	40	46	77	88	129	255	594	1190	1762	2263	2818	3194	3519	3623	3448	3092	2531	1860	1368	945	641	450
0.10	285	245	204	169	144	115	100	81	67	53	45	40	39	41	35	40	61	74	108	229	495	1040	1531	2100	2655	3050	3290	3352	3117	2770	2200	1609	1128	751	520	378
0.20	235	219	177	149	129	96	83	67	55	43	35	32	31	33	31	34	45	51	87	186	398	859	1293	1912	2458	2865	3038	3059	2801	2426	1856	1349	883	570	405	305
0.50	182	126	104	87	71	64	53	43	32	25	20	16	19	16	21	23	25	42	61	89	174	421	863	1418	1884	2236	2460	2453	2240	1720	1261	822	523	346	254	195
0.80	76	46	35	32	24	22	18	15	7	6	4	4	5	8	9	13	18	27	45	51	96	195	527	958	1325	1419	1734	1632	1404	989	448	295	238	176	131	91
0.90	55	37	27	22	17	14	11	8	5	4	3	2	3	5	6	7	13	21	37	41	63	147	342	686	1005	1023	990	885	695	505	301	206	146	104	79	68
0.95	37	21	21	16	13	9	7	4	4	2	2	1	2	3	4	6	5	17	29	34	52	126	268	476	708	764	754	668	527	374	226	167	122	87	66	53
0.99	11	20	15	7	7	3	2	0	2	1	1	0	1	0	1	2	3	9	14	22	37	91	166	175	237	385	446	397	311	186	127	113	88	63	46	30

## BENENI KEGNY

Tableau n°15

DEBITS MOYENS DECADAIRIES EN FONCTION DE LA FREQUENCE (m<sup>3</sup>/s)

F (dép.)	JAN		FEV		MAR		AVR		MAI		JUN		JUL		AOU		SEP		OCT		NOV		DEC													
	1	2	3	4	5	6	7	8	9	10	11	12	13	14	15	16	17	18	19	20	21	22	23	24	25	26	27	28	29	30	31	32	33	34	35	36
0.01	473	339	291	248	220	222	197	166	135	108	91	76	68	68	54	59	135	162	213	343	772	1385	1938	2529	2558	2829	2933	3006	3045	3030	3014	2875	2133	1461	871	656
0.05	396	308	264	218	201	178	151	123	99	75	61	51	47	48	42	44	81	107	159	288	614	1130	1626	2052	2380	2723	2853	2947	2971	2933	2746	2251	1328	896	641	510
0.10	355	288	246	223	195	157	130	103	82	60	47	41	38	40	36	38	59	84	129	255	532	995	1457	1869	2316	2640	2792	2886	2894	2792	2508	1760	1079	723	544	443
0.20	305	257	212	196	173	131	104	82	63	45	36	32	30	31	30	32	42	61	99	200	430	839	1242	1688	2209	2515	2718	2779	2769	2579	2081	1375	835	573	448	368
0.50	203	172	136	111	89	76	60	46	34	26	20	19	18	17	19	21	23	36	60	102	210	465	842	1336	1775	2072	2268	2430	2338	1946	1237	797	538	394	304	240
0.80	87	57	40	32	25	22	19	16	11	9	8	7	8	10	10	12	16	24	40	51	104	217	551	943	1293	1436	1613	1743	1436	998	471	336	282	229	178	125
0.90	58	41	29	22	18	16	13	10	8	7	6	6	6	7	8	10	13	18	31	39	62	173	383	702	1001	1024	978	898	719	544	355	248	197	142	102	81
0.95	43	31	24	17	14	12	10	7	7	6	6	5	5	6	7	8	10	15	24	31	48	145	304	524	730	793	775	697	571	428	275	222	167	116	81	60
0.99	24	17	17	11	9	7	6	4	5	5	4	4	4	3	4	5	6	9	13	19	32	96	205	232	276	430	507	458	370	232	169	148	117	80	52	33

## SOFARA

QMD CALCULES EN FONCTION DE F (en m<sup>3</sup>/s)

Tableau n°16

F (dep.)	JAN		FEV		MAR		AVR		MAI		JUI		JLT		AOU		SEP		OCT		NOV		DEC													
	1	2	3	4	5	6	7	8	9	10	11	12	13	14	15	16	17	18	19	20	21	22	23	24	25	26	27	28	29	30	31	32	33	34	35	36
0.01	533	408	311	263	232	221	211	180	150	122	104	92	82	77	73	64	102	161	194	276	453	778	975	1186	1436	1461	1536	1588	1615	1631	1632	1625	1590	1375	1062	723
0.05	435	347	282	234	209	190	166	137	113	95	80	65	56	53	51	47	64	104	146	228	394	669	878	1066	1273	1374	1493	1558	1592	1607	1601	1549	1398	1011	721	574
0.10	389	315	264	230	208	173	144	118	102	84	63	50	43	42	41	39	51	78	112	201	356	609	827	997	1204	1344	1466	1536	1571	1582	1556	1470	1214	845	618	497
0.20	331	274	232	202	184	150	120	102	87	62	46	36	31	30	31	31	37	56	91	165	298	535	764	909	1131	1302	1424	1504	1539	1541	1485	1323	1020	687	523	403
0.50	220	184	153	124	110	98	81	63	45	39	22	17	15	15	14	17	26	26	56	92	169	331	535	761	977	1139	1265	1345	1408	1394	1252	934	661	481	342	264
0.80	113	88	56	39	30	23	19	15	11	6	4	3	3	3	3	6	8	14	27	50	87	180	343	589	817	938	1004	1028	1048	956	761	416	298	250	199	146
0.90	76	58	38	25	19	15	12	9	6	4	3	2	2	2	3	4	5	9	18	35	53	126	277	466	700	799	785	763	737	625	445	294	215	163	119	100
0.95	61	41	26	19	13	10	8	5	3	3	2	2	1	1	2	2	4	5	12	25	39	107	232	381	568	678	688	672	618	507	337	240	188	136	107	85
0.99	31	19	13	11	6	5	3	2	0	1	1	1	1	0	0	1	1	2	4	10	19	57	139	231	259	338	449	476	413	297	187	157	131	106	81	49

## HOPTII

QMD CALCULES EN FONCTION DE F (en m<sup>3</sup>/s)

Tableau n°17

F (dep.)	JAN		FEV		MAR		AVR		MAI		JUI		JLT		AOU		SEP		OCT		NOV		DEC													
	1	2	3	4	5	6	7	8	9	10	11	12	13	14	15	16	17	18	19	20	21	22	23	24	25	26	27	28	29	30	31	32	33	34	35	36
0.01	2719	2240	1634	1346	1029	796	660	564	436	326	265	258	98	98	113	336	466	729	913	1272	1674	1921	2406	2739	3024	3181	3356	3468	3779	3810	3783	3763	3746	3552	3688	3242
0.05	2151	1633	1139	945	725	562	450	353	274	107	96	93	81	78	85	105	280	471	657	972	1272	1680	2145	2483	2773	2973	3173	3317	3517	3638	3649	3643	3517	3321	3010	2625
0.10	1869	1369	1005	770	592	459	364	278	107	92	85	82	75	71	78	88	113	370	546	831	1097	1558	2009	2352	2657	2873	3078	3258	3380	3499	3559	3529	3360	3201	2711	2352
0.20	1552	1098	802	590	457	358	280	205	89	80	75	73	69	67	69	76	92	277	436	672	912	1415	1844	2202	2526	2759	2962	3108	3245	3335	3438	3374	3167	2905	2439	2037
0.50	987	689	487	340	276	223	91	79	70	67	65	55	50	41	42	52	71	88	275	364	604	975	1532	1937	2288	2549	2719	2770	3000	3008	2868	2660	2458	2063	2005	1416
0.80	452	329	239	89	81	71	67	67	58	42	27	20	20	14	14	22	33	48	81	253	412	661	1064	1547	1898	2077	2256	2488	2424	2428	2273	1976	1594	1223	734	593
0.90	354	246	93	80	75	67	60	57	36	28	22	16	14	10	9	14	20	27	72	104	316	527	908	1374	1775	1964	2134	2155	2270	2130	1866	1562	1162	797	556	468
0.95	290	97	83	75	71	65	54	45	32	26	20	15	9	8	6	8	10	14	51	90	247	431	776	1227	1683	1883	2043	2129	2079	1974	1513	1209	831	489	438	387
0.99	99	71	58	68	67	48	46	26	27	22	15	12	4	3	2	1	0	6	12	74	82	284	531	943	1524	1745	1861	2104	1731	1382	868	596	326	72	276	274

2007-2008 - RECHERCHE REORI

HAUTEURS MAXIMALES CLASSEES DE LA STATION DE BENINI KEDDI

TAUILL DE L'ECHANTILLON : 46

1	0.010	826	2	0.171	830	3	0.052	885	4	0.073	871	5	0.094	870	6	0.115	869	7	0.135	882	8	0.156	851	9	0.177	856	10	0.198	846
11	0.219	840	12	0.149	836	13	0.260	831	14	0.281	829	15	0.302	825	16	0.323	823	17	0.344	822	18	0.365	821	19	0.385	815	20	0.406	814
21	0.427	810	22	0.448	807	23	0.459	803	24	0.490	752	25	0.510	789	26	0.531	787	27	0.552	782	28	0.573	778	29	0.594	768	30	0.615	754
31	0.635	753	32	0.655	731	33	0.677	722	34	0.698	693	35	0.719	689	36	0.740	686	37	0.760	668	38	0.781	623	39	0.802	613	40	0.821	598
41	0.844	604	42	0.855	536	43	0.685	501	44	0.905	496	45	0.927	499	46	0.948	486	47	0.969	452	48	0.990	443						

DISTRIBUTION EXPONENTIELLE GENERALISEE - LOIS TRONQUEES AVEC BORNE INFERIEURE ET SUPERIEURE

PARAMETRES DES DEUX DISTRIBUTIONS : (1) Borne inferieure - (2) Borne superieure

H0=	750	F0=	.85	B1=	-5157195553967	S1=	86.48671787789
Q1=	1.000	Q2=	0.001	R1=	931	R2=	0.050
Q3=	0.100	Q4=	0.999	R3=	891	R4=	0.100
Q5=	0.200	Q6=	0.999	R5=	870	R6=	0.200
Q7=	0.444	Q8=	0.999	R7=	844	R8=	0.400
Q9=	0.500	Q10=	0.999	R9=	793	R10=	0.500

(1)= -5157195553967      S2= -177.4111642838

0.9000      624      0.9900      547      0.9500      486      0.9900      373      0.9990      242

DISTRIBUTION EXPONENTIELLE GENERALISEE - LOIS TRONQUEES AVEC BORNE INFERIEURE ET SUPERIEURE

PARAMETRES DES DEUX DISTRIBUTIONS : (1) Borne inferieure - (2) Borne superieure

H0=	580	F0=	.85	B1=	-3760165941043	S1=	232.5907136041
Q1=	1.000	Q2=	0.001	R1=	1057	R2=	0.050
Q3=	0.100	Q4=	0.999	R3=	987	R4=	0.100
Q5=	0.200	Q6=	0.999	R5=	924	R6=	0.200
Q7=	0.444	Q8=	0.999	R7=	847	R8=	0.400
Q9=	0.500	Q10=	0.999	R9=	763	R10=	0.500
Q11=	0.590	Q12=	0.999	R11=	581	R12=	0.590

(1)= -3760165941043      S2= -102.0832313286

0.9000      506      0.9900      474      0.9900      434      0.9900      398

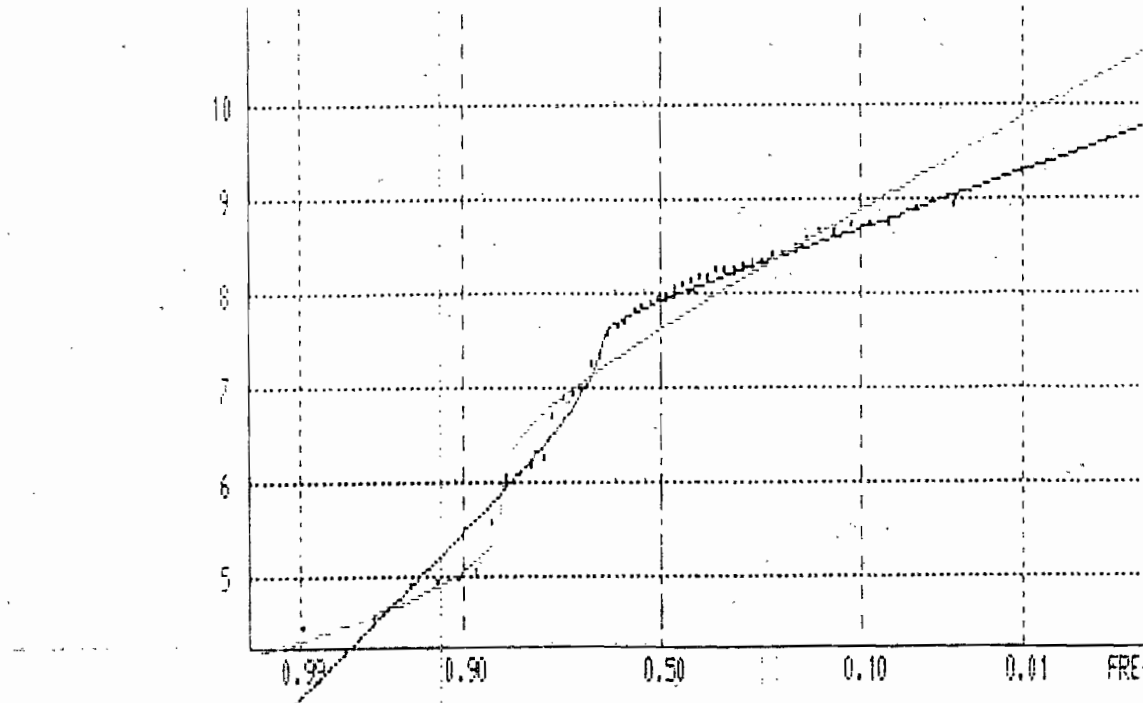


Figure 203

2 - Troncature basse

.80	5	661
.90	10	506
.95	20	474
.99	100	434

La fréquence .80 comprises entre les deux troncatures est prise égale à la moyenne :  $H(.8) = 642.5$  cms

La figure n°3 présente les divers ajustements. Les valeurs ci-dessus sont à ramener au nivellement général en leur ajoutant la cote du zéro de BK : 265.89 m NG

Les débits maximaux sont tirés directement du précédent tableau à l'aide de la courbe de tarage (régime uniforme).

F (dél.)	H(F) (cm)	Q(F) (m³/s)	Période (ans)
.0002	1005	4290	5000
.001	978	4010	1000
.01	932	3570	100
.10	870	3030	10
.50	793	2440	2

### 2.5.2. Extension au site

La régression de hauteurs entre les valeurs de BK et celles de Koui est :

$$H_{Koui} = 180256 \cdot H_{BK} + .8 \quad (\text{en m})$$

F (dél.)	H(F) (cm)	Q(F) (m³/s)	Période (ans)
.0002	887	4290	5000
.001	865	4010	1000
.01	820	3570	100
.10	778	3030	10
.50	717	2440	2

$$\text{Zéro Koui} = 264.13 \text{ m NG}$$

Comme indiqué au § précédent, il faudra effectuer une estimation de la variation d'amortissement pour les Qmax et surtout pour les hauteurs. Les lignes d'eau pouvant être très sensiblement relevées en raison des contractions de sections mouillées imposées par les endiguements.

$$\text{CRUE de PROJET : } F(.001) \approx 4000 \text{ m}^3/\text{s}$$

La cote de la crue de projet sera estimée à partir des paramètres hydrauliques de l'ouvrage qui relèvera cette dernière au droit du site (contraction de l'écoulement).

## 2.6. COMPARAISON DES HMD CALCULEES 1981/83

Les tableaux suivants (19 à 24) contiennent les valeurs calculées en 1981 et celles de 1983. La crue 1983 a été reportée en bas de chaque tableau lorsqu'il y a eu des observations.

Les calculs de la présente note donnent en général, sauf pour DOUNA, des valeurs légèrement inférieures à celles de 1981 pour la fréquence .99.

La crue de fréquence .99 calculée en 1981 correspond sensiblement à celle de .99 de 1983.

La crue observée en 1983, dont le maximum n'a atteint que 2.87 m à DOUNA, est la plus faible jamais enregistrée à ce jour et sa fréquence est difficilement appréciable. De même aux autres stations :

Stations :	DOUNA	BK	SOFARA	MOPTI
Hmax (F=.999)	400	398	409	537
Hmax (1983)	287	?	341	502

Les valeurs ci-dessus sont exprimées en cm (cotes relatives aux échelles de crues).

La plus faible crue observée à DOUNA a atteint 451 cms en 1972, soit un débit de 850 m<sup>3</sup>/s au lieu de 345 m<sup>3</sup>/s en 1983.

A MOPTI, le débit maximum n'a pas excédé 1680 m<sup>3</sup>/s alors que le max de crue (F=.99) est évalué à 2080 m<sup>3</sup>/s.

Le module de la crue 1983 ne peut pas être calculé à l'heure actuelle , mais sa fréquence sera sûrement du même ordre de grandeur que celle du maximum.

## DOUAI

IND CALCULEES EN FONCTION DE F (en cos-hauteurs relatives)

Zero de l'échelle = 270,72x NG

## TABLEAU N°19

F(degr.)	JAN	2	3	4	5	6	7	8	9	10	11	12	13	14	15	16	17	18	19	20	21	22	23	24	25	26	27	28	29	30	31	32	33	34	35	36
0.90	93	74	63	56	50	45	40	34	29	25	22	20	23	28	30	36	44	55	74	78	104	130	236	404	490	495	497	458	408	377	268	219	180	154	120	105
0.95	75	67	56	47	43	37	32	25	26	21	19	17	19	21	24	31	37	49	65	70	92	163	252	337	410	425	422	398	354	299	230	194	180	128	107	93
0.99	41	53	47	33	32	24	17	8	21	14	16	12	12	8	14	21	22	37	45	56	75	133	194	200	236	304	327	304	272	207	164	152	129	105	85	65

LE TABLEAU CI-DESSUS EST TIRE DE L'ETUDE STATISTIQUE DES IND(\*2.)

HAUTEURS ADENNES DECADAIRES CALCULEES EN AVRIL 1981 - FREQUENCE 0,99

F(degr.)	JAN	2	3	4	5	6	7	8	9	10	11	12	13	14	15	16	17	18	19	20	21	22	23	24	25	26	27	28	29	30	31	32	33	34	35	36
0.99	58	50	44	38	36	29	25	21	17	17	15	14	14	16	16	23	25	43	46	50	60	132	181	235	260	350	325	320	285	205	190	145	120	99	82	65

HAUTEURS ADENNES DECADAIRES DESCARREEES EN 1983

JAN	FEV	MAR	AVR	MAY	JUL	JUL	AOU	SEP	OCT	NOV	DEC																								
1	2	3	4	5	6	7	8	9	10	11	12	13	14	15	16	17	18	19	20	21	22	23	24	25	26	27	28	29	30	31	32	33	34	35	36
1983	80	69	58	49	41	35	29	26	21	18	15	12	13	16	33	39	58	73	74	78	111	186	154	218	234	244	276	270	232						

## BENENT KEGNY

IND CALCULEES EN FONCTION DE F (en cos-hauteurs relatives)

Zero de l'échelle = 265,69x NG

## TABLEAU N°20

F(degr.)	JAN	2	3	4	5	6	7	8	9	10	11	12	13	14	15	16	17	18	19	20	21	22	23	24	25	26	27	28	29	30	31	32	33	34	35	36
0.90	102	87	73	64	58	53	48	42	38	31	28	26	27	31	35	40	47	57	74	84	103	170	265	382	478	503	500	452	435	373	259	229	196	162	135	119
0.95	89	76	66	56	50	45	40	33	31	28	25	23	23	26	29	34	41	51	66	75	92	154	233	323	403	434	437	418	377	319	245	210	178	145	120	106
0.99	66	55	55	43	38	32	25	16	21	21	20	18	17	14	17	24	27	37	46	59	75	125	187	207	229	291	328	319	285	221	180	144	114	119	98	71

LE TABLEAU CI-DESSUS EST TIRE DE L'ETUDE STATISTIQUE DES IND(par. 2)

HAUTEURS ADENNES DECADAIRES CALCULEES EN AVRIL 1981 - FREQUENCE = 0,99

F(degr.)	JAN	2	3	4	5	6	7	8	9	10	11	12	13	14	15	16	17	18	19	20	21	22	23	24	25	26	27	28	29	30	31	32	33	34	35	36
0.99	59	42	27	10	5	0	0	-2	-2	-4	-10	-10	-10	-10	-5	-3	-2	-1	18	42	32	105	155	225	260	330	345	330	295	225	200	170	145	55	20	60

LES OBSERVATIONS DE 1983 SONT TRÈS INCOMPLÈTES A BENENT KEGNY - PAS DE PUBLICATION DES IND

**BAC DE DÉJERHE**  
**HAD CALCULÉES EN FONCTION DE F (en cos-hauteurs relatives)**

TABLEAU N°21

F(degr.)	JAN			FEV			MAR			AVR			MAI			JUL			AUG			SEP			OCT			NOV			DEC					
	1	2	3	4	5	6	7	8	9	10	11	12	13	14	15	16	17	18	19	20	21	22	23	24	25	26	27	28	29	30	31	32	33	34	35	36
0.80	91	77	63	54	48	43	38	33	27	22	19	17	18	21	24	29	36	46	62	71	89	149	238	344	631	460	460	352	279	218	183	151	125	108		
0.95	79	66	58	48	41	38	30	24	21	18	16	14	14	16	19	24	30	39	53	63	79	134	208	293	386	398	403	384	353	303	235	197	168	135	110	96
0.99	56	46	44	34	28	23	16	8	11	12	11	9	8	6	7	14	17	26	37	47	62	107	166	190	211	266	303	299	269	211	169	151	132	109	86	67

LE TABLEAU CI-DESSUS EST TIRE DE L'ETUDE STATISTIQUE DES NAD (par. 2.)

HAUTEURS ADYENNES DECADAIRES CALCULEES EN AVRIL 1981 - FREQUENCE = 0,99

F(deg.)	JAN		FEV		MAR		AVR		MAT		JUL		AGT		AOU		SEP		OCT		NOV		DEC													
	1	2	3	4	5	6	7	8	9	10	11	12	13	14	15	16	17	18	19	20	21	22	23	24	25	26	27	28	29	30	31	32	33	34	35	36
0.19	25	19	13	7	3	4	0	-3	-9	-15	-20	-18	-13	-18	-16	-12	-11	-10	7	30	67	91	136	202	239	302	320	320	362	258	192	150	118	87	60	38

### HAUTEURS MÉTÉOROLOGIQUES DÉCADAIRES DESERVÉES EX 1933

SOFASA  
HAO CALCULEES EN FONCTION DE F (en cas-hauteurs relatives)  
Zéro de l'échelle = 262,76 m NG

TABLEAU N°22

F(dept.)	JAN		FEB		MAR		APR		MAY		JUN		JUL		AUG		SEP		OCT		NOV		DEC													
	1	2	3	4	5	6	7	8	9	10	11	12	13	14	15	16	17	18	19	20	21	22	23	24	25	26	27	28	29	30	31	32	33	34	35	36
0.90	120	97	73	53	41	32	24	18	7	-4	-11	-16	-20	-18	-11	-5	3	16	38	66	87	158	262	360	448	492	509	497	499	459	397	319	259	213	170	147
0.95	102	77	53	42	29	21	13	3	-8	-12	-17	-22	-25	-24	-20	-15	-6	4	24	50	71	140	236	323	404	452	466	466	451	414	343	279	235	189	156	131
0.99	63	52	29	24	8	0	-8	-21	-36	-28	-28	-30	-33	-35	-39	-34	-24	-18	-1	18	40	89	168	241	248	389	362	393	365	311	250	204	179	156	125	46

LE TABLEAU CI-DESSUS EST TIRÉ DE L'ÉTUDE STATISTIQUE DES HABITANTS

HAUTEURS MONTÉES DÉCARBONÉES CALCULÉES EN AVRIL 1961 - ÉTAPE 1 = 0.89

F(dep.)	JAN	FEB	MAR	APR	MAY	JUN	JUL	AUG	SEP	OCT	NOV	DEC																							
1	2	3	4	5	6	7	8	9	10	11	12	13	14	15	16	17	18	19	20	21	22	23	24	25	26	27	28	29	30	31	32	33	34	35	36
0.99	40	25	20	17	13	7	-4	-8	-11	-25	-35	-45	-45	-40	-40	-40	-40	4	20	35	86	160	240	295	356	400	410	350	340	265	150	163	115	55	10

### HAUTEURS MOYENNES DÉCADAIRES OBSERVÉES EN 1953

ANNEE	JAN	FEB	MAR	AVR	MAY	JUN	JUL	AOÛT	SEP	OCT	NOV	DÉC																								
	1	2	3	4	5	6	7	8	9	10	11	12	13	14	15	16	17	18	19	20	21	22	23	24	25	26	27	28	29	30	31	32	33	34	35	36
1983	75	59	66	37	29	19	12	4	-2	-7	-14	-17	-21	-28	-23	-31	3	30	46	55	82	120	124	216	273	269	309	338	334							

### 3. EVOLUTION DU REGIME HYDROLOGIQUE DU BANI

L'étude est conduite au niveau de la station de BENENI KEGNY.

Nous disposons de 21 modules annuels observés à cette station, modules calculés pour l'année hydrologique. L'échantillon des observations est étendu en utilisant une régression parabolique avec DOUNA :

$$Q_{Bk} = (Q_{D0} + 586)^{0.5} * 56 - 1356 \text{ (m}^3/\text{s}) \quad (3.1)$$

L'échantillon étendu depuis 1950 contient 33 valeurs qui sont reportées dans le tableau n°25.

La pluviométrie moyenne annuelle sur le bassin a été calculée arithmétiquement à l'aide des valeurs observées en années calendaires aux stations suivantes :

SIKASSO(1) - KOUTIALA(2) - BOUGOUNI(3) - DIOILA(4) - KADIOLO(5)  
OUDESSÉBOUGOU(6) - NIENA(7) - SAN(8)

La valeur moyenne de la pluviométrie annuelle est reportée dans la 10ème colonne du tableau n°25.

La figure n°4 présente les modules annuels des crues (en année hydrologique) en fonction de la pluviométrie moyenne correspondante.

Il est clair que le déficit pluviométrique depuis 1971 a engendré une forte diminution des volumes écoulés au droit de la station de BENENI KEGNY.

L'année 1976 présente une anomalie au niveau des modules. Il s'agit là probablement d'une forte irrégularité spatiale et temporelle des précipitations qui ont provoqué cette anomalie.

La régression entre modules et pluviométries moyennes est de la forme :

$$Q_m = k * (P_m - P_0) \quad (3.2)$$

avec :  $k = 1.39$        $P_0 = 712 \text{ mm}$        $Q_m \text{ en m}^3/\text{s}$        $P_m \text{ en mm}$ .  
 $n = 30$        $r = .885$

L'hydraulicité de la récente période est très faible par rapport à 1950-70. La moyenne des modules est :

Période 1950-70     $Q_m = 630 \text{ m}^3/\text{s}$

"      1971-82     $Q_m = 253 \text{ m}^3/\text{s}$

En 1983 (crue 83/84) le module, déduit de la valeur du Qmax à DOUNA n'excédera pas 120 m<sup>3</sup>/s.

SARE ANLA  
HAD CALCULEES EX FONCTION DE F (en cas-hauteurs relatives)  
Zero de l'échelle = 261.00 m NG

TABLEAU N° 23

F(dept.)	JAN		FEB		MAR		APR		MAY		JUN		JUL		AUG		SEP		OCT		NOV		DEC													
	1	2	3	4	5	6	7	8	9	10	11	12	13	14	15	16	17	18	19	20	21	22	23	24	25	26	27	28	29	30	31	32	33	34	35	36
0.90	246	212	183	157	162	125	109	103	86	78	68	61	57	54	55	62	71	81	120	175	217	281	356	459	518	554	573	577	582	565	526	473	415	357	305	277
0.75	225	188	163	144	130	113	101	91	77	70	63	57	51	49	48	52	58	65	100	154	194	258	341	422	491	533	551	562	557	531	478	425	388	303	275	255
0.99	183	143	125	119	109	93	87	68	63	61	55	51	40	42	35	33	33	35	61	111	146	208	284	362	427	468	502	527	503	454	378	325	268	176	221	211

LE TABLEAU CI-DESSUS EST TIRE DE L'ETUDE DES IMD (par. 2.)

HAUTEURS ADONNÉES DÉCADAISES CALCULÉES EN AVRIL 1981 - FREQUENCE = 0,99

F(deg.)	JAN	FEB	MAR	AVR	MAY	JUN	JUL	AGT	AGO	SEP	OCT	NOV	DEC																							
	1	2	3	4	5	6	7	8	9	10	11	12	13	14	15	16	17	18	19	20	21	22	23	24	25	26	27	28	29	30	31	32	33	34	35	36
6.99	177	150	123	122	117	103	66	80	74	63	56	48	45	40	37	34	31	30	26	154	162	213	202	364	452	500	525	541	530	468	412	340	296	262	239	177

PAS D'OBSEQUATION EN 1993

ADP11(Coaff1)usef\_NIGER/SAK11

HAD CALCULEES EN FONCTION DE F (en cm-hauteurs relatives)

TABLEAU N° 24

F(degr.)	JAN		FEV		MAR		AVR		MAI		JUN		JUL		AUG		SEP		OCT		NOV		DEC													
	1	2	3	4	5	6	7	8	9	10	11	12	13	14	15	16	17	18	19	20	21	22	23	24	25	26	27	28	29	30	31	32	33	34	35	36
0.90	257	216	183	155	138	116	95	91	69	59	51	42	39	33	31	38	47	57	105	174	229	289	383	438	496	528	552	561	573	564	537	499	442	378	319	289
0.95	233	189	160	160	126	104	89	79	64	55	47	40	32	29	25	29	33	38	81	151	201	263	339	416	482	517	561	555	555	535	493	446	382	364	381	244
0.99	189	138	117	111	105	83	79	56	57	50	40	36	20	23	15	10	3	3	35	102	152	214	297	389	455	497	520	547	519	473	395	339	258	159	213	270

LE TABLEAU CI-DESSUS EST TIRÉ DE L'ÉTUDE DES MARIN (p. 2-3).

HABITUELS. HAUTEURS ADYENNES DECADAIRES CALCULEES EN AOUT 1931 - EXPERIENCE = 0.88

MANOIRS, BOISQUES, DECORAIRES, DECORNEES EN 1613

TABLEAU N°25

## PLUVIGRAPHIE DES 8 POSTES DE 1950 A 1980 - PLUVIOMETRE MOYENNE - MODULE ANNUEL A BEHENI KEGNY

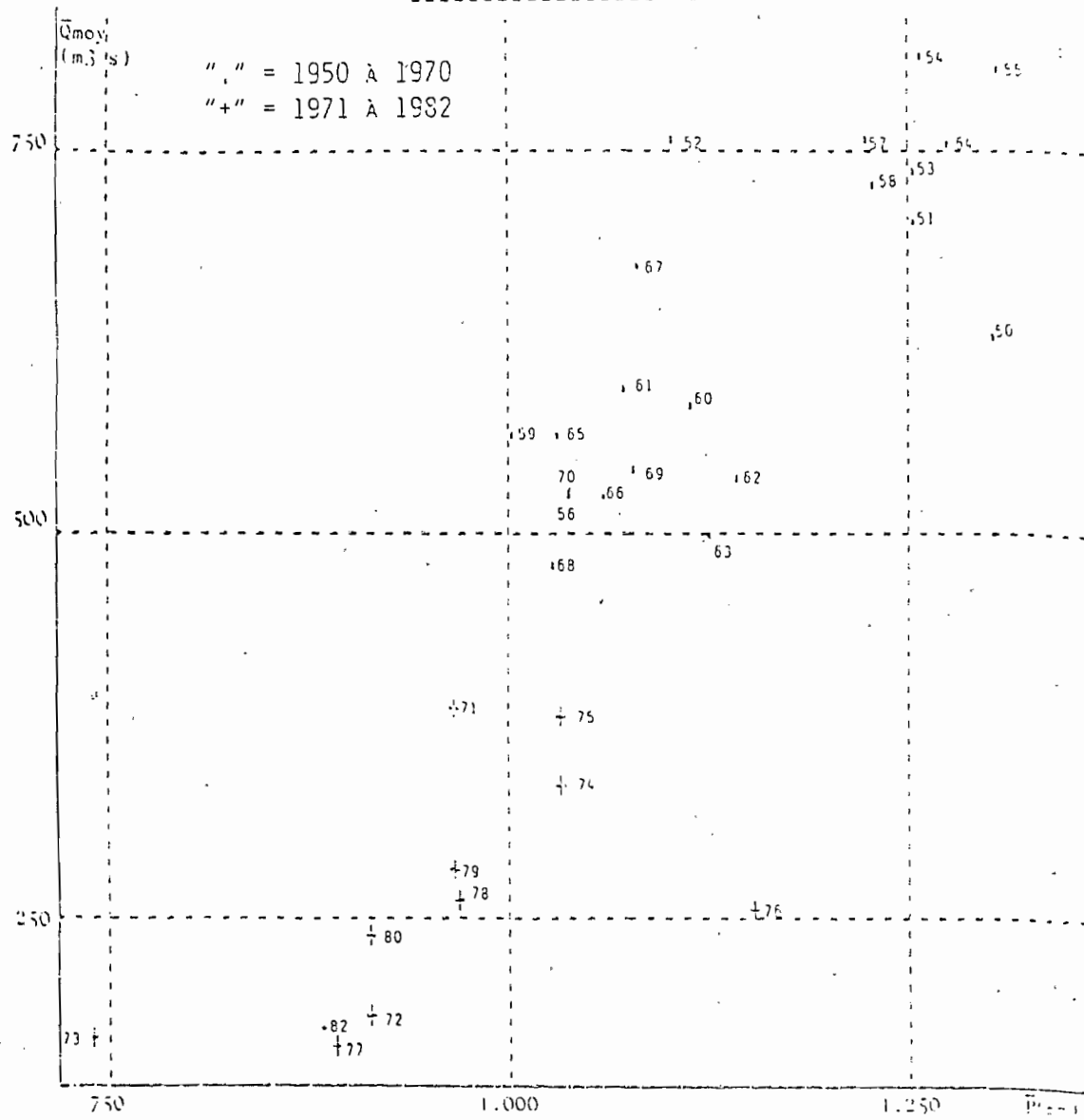
	SIKASSO	KOUTIALA	BOUGOURI	DIOILA	KADIOLO	OUELESSE	XIENA	SAX	PMoy	MODULE E.K.
1950	1530	1160	1554	1285	1111	1111	1111	974	1302	627
1951	1510	1433	1398	1077	1111	1111	1111	845	1253	700
1952	1160	1152	1424	1225	1111	1111	1111	605	1101	752
1953	1558	1667	1317	1097	1435	1111	1360	931	1252	734
1954	1439	934	1321	1205	1482	1361	1456	853	1257	806
1955	1408	1233	1534	1124	1375	1089	1788	886	1305	798
1956	1185	961	1248	857	1077	963	1294	709	1037	521
1957	1310	1041	1661	1015	1465	1189	1284	810	1222	753
1958	1450	1291	1022	1032	1390	1111	1502	850	1227	723
1959	1270	875	1039	865	1111	996	1163	796	1091	552
1960	1196	995	1395	892	1246	1073	1371	731	1112	530
1961	1141	1343	1205	1111	852	926	1191	808	1071	594
1962	1144	1056	1489	1097	975	1359	1300	701	1141	534
1963	1248	914	1335	833	1279	1146	1355	880	1124	497
1964	1340	1281	1449	1014	1320	1284	1450	947	1273	750
1965	979	1024	954	1191	1103	1052	1150	777	1029	560
1966	1229	704	1328	932	1323	1093	1072	732	1058	520
1967	1279	1112	1053	953	1112	1100	1206	817	1079	672
1968	1476	968	833	918	1229	986	1056	752	1027	477
1969	1232	824	1165	1120	1400	1182	1133	559	1077	539
1970	1347	939	1154	578	1432	1135	1096	563	1037	523
1971	888	925	1105	922	981	986	1145	756	963	377
1972	1017	831	907	709	1100	938	993	791	911	177
1973	796	668	843	723	899	749	755	565	739	169
1974	1072	1125	1050	968	1371	975	1061	623	1031	374
1975	1099	837	1124	1111	1205	1111	1274	642	1030	569
1976	1535	999	1238	1182	1137	1111	1270	695	1151	245
1977	1210	811	1009	758	834	861	842	793	890	155
1978	1280	807	1219	828	1001	1111	743	868	967	291
1979	1249	885	1185	860	731	1130	985	678	983	270
1980	1131	755	1127	783	1201	871	648	770	911	228
1981	1111	1111	1111	1111	1111	1111	1111	1111	1111	305
1982	993	831	1181	1111	1111	1111	1111	515	1111	175

MODULE MOYEN ANNUEL - PLUVIOMETRIE MOYENNE SUR LE BASSIN  
DU BANI A BENINI KEGRY

++++++

PERIODE 1950 A 1982

Figure n°4



## 4. ETUDE DES NIVEAUX RELATIFS DU BANI ET DU NIGER

### 4.1. Contraintes

Elles ont été imposées par le bureau d'étude chargé de la coordination :

- Pour 3 débits imposés au BANI : 0 - 50 - 100 m<sup>3</sup>/s et une crue de fréquence sensiblement centennale du NIGER à MOPTI, évaluer les niveaux en 3 points du cours du fleuve BANI :

SOFARA - KOUNA - BAC de DJENNE

### 4.2. Données

Nous disposons du limnigramme et de l'hydrogramme calculés à MOPTI en fréquence centennale, de même à SOFARA.

Actuellement le modèle de propagation des crues du NIGER n'est pas calé dans la zone de confluence NIGER-BANI. nous ne pouvons donc pas l'utiliser.

Les points intéressants sont, dans le temps :

25/8 au 1/9 - 20/9 au 25/9 - 20/11 au 30/11, soit les décades :

8.3 et 9.1 - 9.2 et 11.3

### 4.3. Analyses

Les débits moyens décadiques du BANI à SOFARA sont déduits de ceux de MOPTI avec une décade de retard, la hauteur moyenne décadique est reconstituée en additionnant les débits imposés qui sont supposés uniformes dans le temps. Nous admettons que le gradient limnigraphique est peu modifié à MOPTI et le changement de cote à l'échelle de crue est évalué à l'aide de la courbe pseudo-univoque de cette station.

Le tableau suivant est dressé comme indiqué ci-dessous :

- Nous admettrons que le temps de propagation de l'onde de crue est égal dans les deux sens, c'est-à-dire SOFARA/MOPTI et MOPTI SOFARA, avec une décade d'écart.

- Nous prenons les valeurs calculées des HMD et QMD des 5 décades en crue centennale faible à MOPTI, avec une décade de retard puisque c'est la cote qui correspondra à SOFARA pour les décades étudiées.

- Nous retirons aux QMD de MOPTI de la décennie précédente le débit de SOFARA, 2 décades avant. Nous appellerons ce débit résultant (qui est le débit du NIGER) : QoMD(-i)

- Nous calculons les cotés qui correspondent, en régime uniforme, donc à gradient nul, aux différents QMD, nous obtenons un écart entre cote en régime uniforme :

Soit F la fonction qui donne en régime uniforme  $Q_0 = F(H)$  et G son inverse :

$$G = F^{-1}$$

$$H_{01} = G(QMD) \text{ et } H_{02} = G(QoMD(-1)) \quad DH_0 = H_{01} - H_{02}$$

- Nous en déduisons la HMD à MOPTI avec une décennie d'avance sur la décennie étudiée à SOFARA pour un débit nul du BANI. Pour les 2 autres cas, 50 et 100 m<sup>3</sup>/s à SOFARA, il suffit d'ajouter ces 2 débits à QoMD(-1) et de faire le même calcul que ci-dessus.

Tableau n°26

Décades	8.2	8.3	9.1	9.2	11.2
HMDM	2.87	3.69	4.65	4.97	3.30
QMDM	531	543	1524	1745	595
QMDS(-1)	200	207	286	442	143
HoMDM	3.00	3.86	4.80	5.10	3.16
<b>1er cas : Q SOFARA = 0</b>					
QMDM(0)	331	706	1238	1303	453
HoMDM(0)	2.01	3.40	4.36	4.46	2.80
DHo(0)	-.99	-.46	-.44	-.64	-.36
HMDM(0)	1.88	3.23	4.11	4.33	2.94
<b>2ème cas : Q SOFARA = 50 m<sup>3</sup>/s</b>					
QMDM(50)	381	756	1288	1353	503
HoMDM(50)	2.59	3.60	4.44	4.54	2.93
DHo(50)	-.41	-.36	-.36	-.56	-.23
HMDM(50)	2.46	3.33	4.19	4.41	3.07
<b>3ème cas : Q SOFARA = 100 m<sup>3</sup>/s</b>					
QMDM(100)	431	806	1338	1403	553
HoMDM(100)	2.74	3.60	4.52	4.62	3.06
DHo(100)	-.26	-.26	-.26	-.40	-.10
HMDM(100)	2.61	3.43	4.27	4.49	3.20

#### Significations des variables :

QMDM(0) = Débits Moyens Décennaires à MOPTI pour la décennie -1 et débit nul du BANI.

HMDM = HMD à MOPTI réelle pour la décennie -1.

QMDS(-1) = HMD SOFARA pour la décennie -2.

HoMDM = HMD correspondant au Q uniforme (G=0) réel.

HoMDM(50) = idem avec Q = 50 m<sup>3</sup>/s à SOFARA.

Les valeurs résultantes HMDM(QS) avec QS = 0, 50, ou 100 m<sup>3</sup>/s sont celles de MOPTI une décennie avant celle étudiée à SOFARA, ce qui correspond donc à un temps moyen de propagation de la crue de 1 décennie entre les deux stations. (Les hauteurs sont exprimées en mètres et les débits en m<sup>3</sup>/s).

#### 4.4. Résultats

##### 1er cas : Débit nul à SOFARA

Zéros échelles de crues : MOPTI = 260.62m SOFARA = 262.76m (NG)

Nous admettons que pour un débit nul il n'y a pas de perte de charge entre MOPTI et SOFARA pour les débits du NIGER à MOPTI et que la cote de MOPTI se retrouve sensiblement à SOFARA avec une décade de retard. Nous obtenons les valeurs suivantes:

Décades	8.3	9.1	9.2	9.3	11.3
HMDM(-1)	1.88	3.83	4.11	4.33	2.94
HMDS(NG)	262.50	263.85	264.73	264.95	263.56
HMDS(0)	-26	1.09	1.97	2.17	.80

##### 2ème cas : Débits de 50 et 100 m3/s à SOFARA

En première approximation nous supposons que ces deux débits transiteront à SOFARA pour un DH au droit de l'échelle égal à celui qu'il faudrait pour transiter le même DQ en régime uniforme. La cote de base est celle du débit nul: HMDS(0).

Décades	8.3	9.1	9.2	9.3	11.3
QMDS(0)	1.1	70	156	182	45
QMDS(50)	51	120	206	232	95
HMDS(50)	.87	1.63	2.38	2.56	1.37
HMDS(50)NG	263.63	264.39	265.14	265.32	264.13
QMDS(100)	101	170	256	282	145
HMDS(100)	1.44	2.09	2.72	2.88	1.87
HMDS(100)NG	264.20	264.85	265.48	265.64	264.63

Tous les débits sont exprimés en m3/s et les hauteurs en mètres. En régime uniforme, sans remontée de courbe de remous à SOFARA, les cotes enregistrées sont les suivantes :

QS = 0 m3/s HS = 262.25m NG

QS = 50 " HS = 263.62m NG

QS = 100 m3/s HS = 264.19m NG

Ces cotes ne sont qu'une estimation. Afin de mieux traduire la remontée de la courbe de remous du NIGER pour les différents débits envisagés, il conviendra d'utiliser le modèle de propagation en fonction des différentes contraintes. Cela pourra se faire dès que ce dernier sera calé à la confluence NIGER - BANI.

ANNEXE 1

Répartition statistique des HMD

DOUNA : décades n°24 à 27

MOPTI : décades n°23 et 24

STATION: DOUNA SUR LE FLEUVE BANI

HAUTEURS MOYENNES DE LA DECADE 24

TAILLE DE L'ECHANTILLON : 47

Tableau n°1

1	0.011	839	2	0.032	816	3	0.053	786	4	0.074	779	5	0.096	772	6	0.117	755	7	0.138	755	8	0.160	747	9	0.181	734	10	0.202	724
11	0.223	713	12	0.245	693	13	0.266	692	14	0.287	689	15	0.309	681	16	0.330	677	17	0.351	672	18	0.372	648	19	0.394	645	20	0.415	632
21	0.436	616	22	0.457	616	23	0.479	601	24	0.500	587	25	0.521	585	26	0.543	581	27	0.564	580	28	0.585	578	29	0.606	572	30	0.628	566
31	0.649	547	32	0.670	539	33	0.691	529	34	0.713	518	35	0.734	514	36	0.755	506	37	0.777	497	38	0.798	482	39	0.819	456	40	0.840	448
41	0.862	438	42	0.883	380	43	0.904	368	44	0.926	364	45	0.947	363	46	0.968	324	47	0.989	202									

DISTRIBUTION EXPONENTIELLE GENERALISEE - LOIS TRONQUEES AVEC BORNE INFERIEURE ET SUPERIEURE

PARAMETRES DES DEUX DISTRIBUTIONS : (1) Borne inferieure = (2) Borne superieure

H0= .657

F0= .37

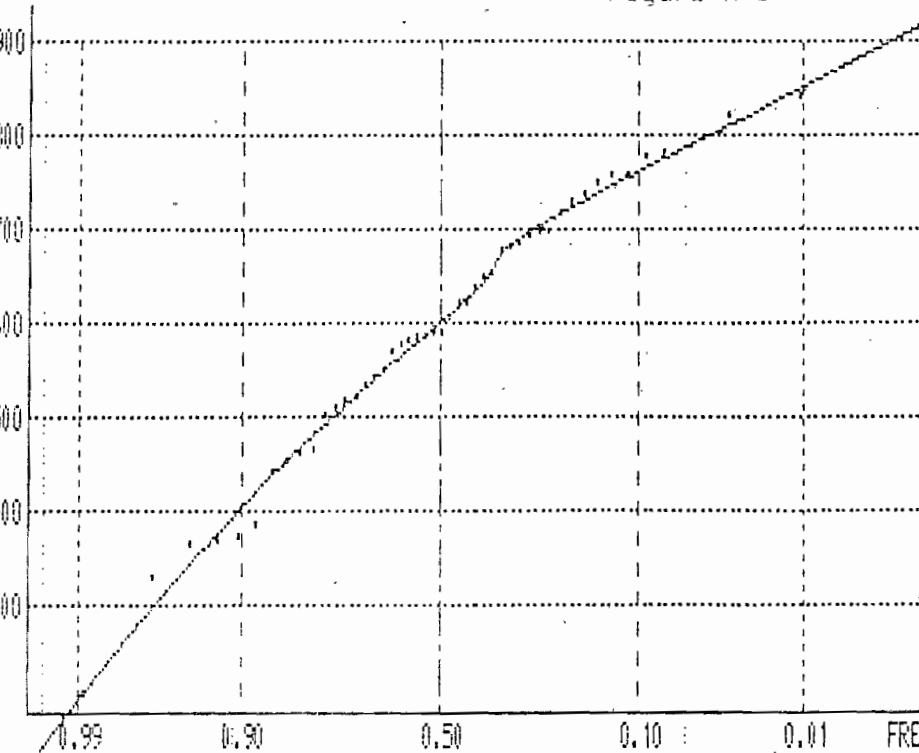
B1= .6023111798306

S1= 89.28833028432

B2= .7281935264606

S2= -162.461046314

Figure n°1



## STATION: DOUNA SUR LE FLEUVE BANI

HAUTEURS MOYENNES DE LA DECADE '25

TAILE DE L'ECHANTILLON : 44

1	0.011	904	2	0.034	895	3	0.057	886	4	0.080	858	5	0.102	856	6	0.125	855	7	0.148	848	8	0.170	844	9	0.193	834	10	0.216	824
11	0.239	818	12	0.261	817	13	0.284	809	14	0.307	801	15	0.330	796	16	0.352	792	17	0.375	791	18	0.398	786	19	0.420	770	20	0.443	766
21	0.466	736	22	0.489	721	23	0.511	714	24	0.534	705	25	0.557	702	26	0.580	699	27	0.602	663	28	0.625	657	29	0.648	649	30	0.670	647
31	0.693	635	32	0.716	634	33	0.739	633	34	0.761	628	35	0.784	620	36	0.807	599	37	0.830	547	38	0.852	487	39	0.875	482	40	0.898	448
41	0.920	430	42	0.943	382	43	0.966	380	44	0.989	292																		

DISTRIBUTION EXPONENTIELLE GENERALISEE - LOIS TRONQUEES AVEC BORNE INFERIEURE ET SUPERIEURE

PARAMETRES DES DEUX DISTRIBUTIONS : (1) Borne inferieure - (2) Borne superieure

H0= 717.5

F0= .5

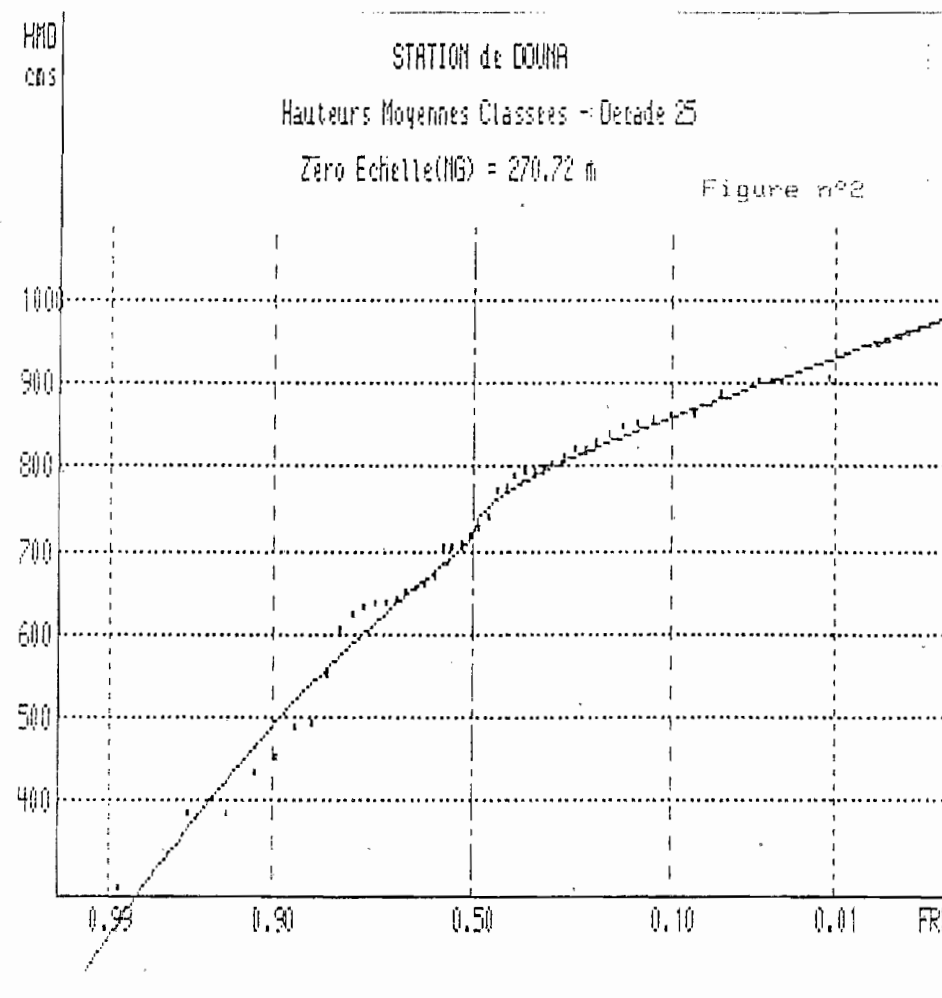
D1= .4579180535301

S1= 114.0903888716

D2= .8438122187823

S2= -152.2876926649

Tableau n°2



STATION: DOUNA SUR LE FLEUVE BANI

HAUTEURS MOYENNES DE LA DECADE 26

TAILLE DE L'ECHANTILLON : 44

Tableau n°3

1	0.011	957	2	0.034	947	3	0.057	944	4	0.080	933	5	0.102	925	6	0.125	924	7	0.148	912	8	0.170	889	9	0.193	888	10	0.216	887
11	0.239	887	12	0.261	884	13	0.284	883	14	0.307	877	15	0.330	866	16	0.352	858	17	0.375	837	18	0.398	822	19	0.420	818	20	0.443	805
21	0.466	793	22	0.489	789	23	0.511	780	24	0.534	779	25	0.557	778	26	0.580	774	27	0.602	763	28	0.625	759	29	0.648	755	30	0.670	727
31	0.693	717	32	0.715	696	33	0.739	695	34	0.761	688	35	0.784	678	36	0.807	611	37	0.830	606	38	0.852	605	39	0.875	450	40	0.898	445
41	0.920	426	42	0.943	419	43	0.966	416	44	0.989	358																		

DISTRIBUTION EXPONENTIELLE GENERALISEE - LOIS TRONQUEES AVEC BORNE INFERIEURE ET SUPERIEURE

PARAMETRES DES DEUX DISTRIBUTIONS : (1) Borne inferieure - (2) Borne superieure

H0= 620      F0= .4      D1= .46051075059e-06      S1= 85.31014595544

S2= -.89935646671e-06      S2= -170.2156607997

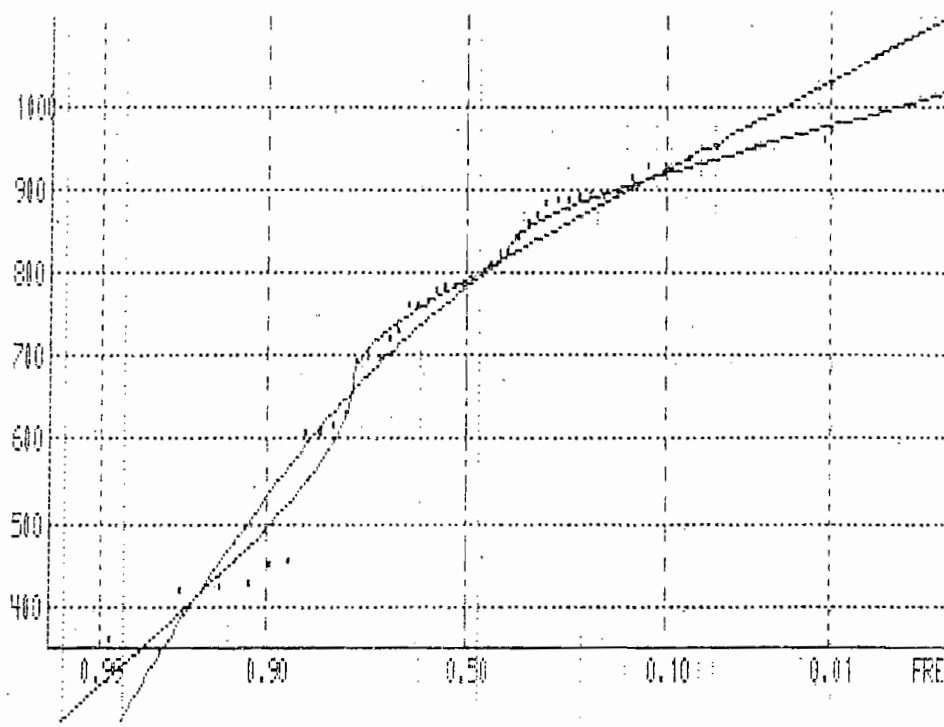
DISTRIBUTION EXPONENTIELLE GENERALISEE - LOIS TRONQUEES AVEC BORNE INFERIEURE ET SUPERIEURE

PARAMETRES DES DEUX DISTRIBUTIONS : (1) Borne inferieure - (2) Borne superieure

H0= 660      F0= .77      D1= .4442855284559      S1= 192.4517834806

S2= .580066520091e-06      S2= -183.7178905996

Figure n°3



STATION: DOUJA SUR LE FLEUVE BANI

HAUTEURS MOYENNES DE LA DECADE 27

TAILE DE L'ECHANTILLON : 44

1	0.011	2 1046	2	0.034	981	3	0.057	974	4	0.080	972	5	0.102	950	6	0.125	946	7	0.148	945	8	0.170	940	9	0.193	937	10	0.216	897
11	0.239	897	12	0.261	695	13	0.284	885	14	0.307	885	15	0.330	884	16	0.352	884	17	0.375	879	18	0.398	875	19	0.420	868	20	0.443	861
21	0.466	859	22	0.489	850	23	0.511	831	24	0.534	824	25	0.557	819	26	0.580	813	27	0.602	804	28	0.625	785	29	0.648	771	30	0.670	768
31	0.693	737	32	0.716	716	33	0.739	711	34	0.761	697	35	0.784	678	36	0.807	597	37	0.830	590	38	0.852	576	39	0.875	491	40	0.898	480
41	0.920	447	42	0.943	397	43	0.966	393	44	0.989	345																		

DISTRIBUTION EXPONENTIELLE GENERALISEE - LOIS TRONQUEES AVEC BORNE INFERIEURE ET SUPERIEURE

Tableau n°4

PARAMETRES DES DEUX DISTRIBUTIONS : (1) Borne inferieure - (2) Borne superieure

H0= 840.5

F0= .5

D1= .5689854775547

S1= 81.63052118763

D2= -.8297714413639

S2= -204.8116725732

DISTRIBUTION EXPONENTIELLE GENERALISEE - LOIS TRONQUEES AVEC BORNE INFERIEURE ET SUPERIEURE

PARAMETRES DES DEUX DISTRIBUTIONS : (1) Borne inferieure - (2) Borne superieure

H0= 580

F0= .85

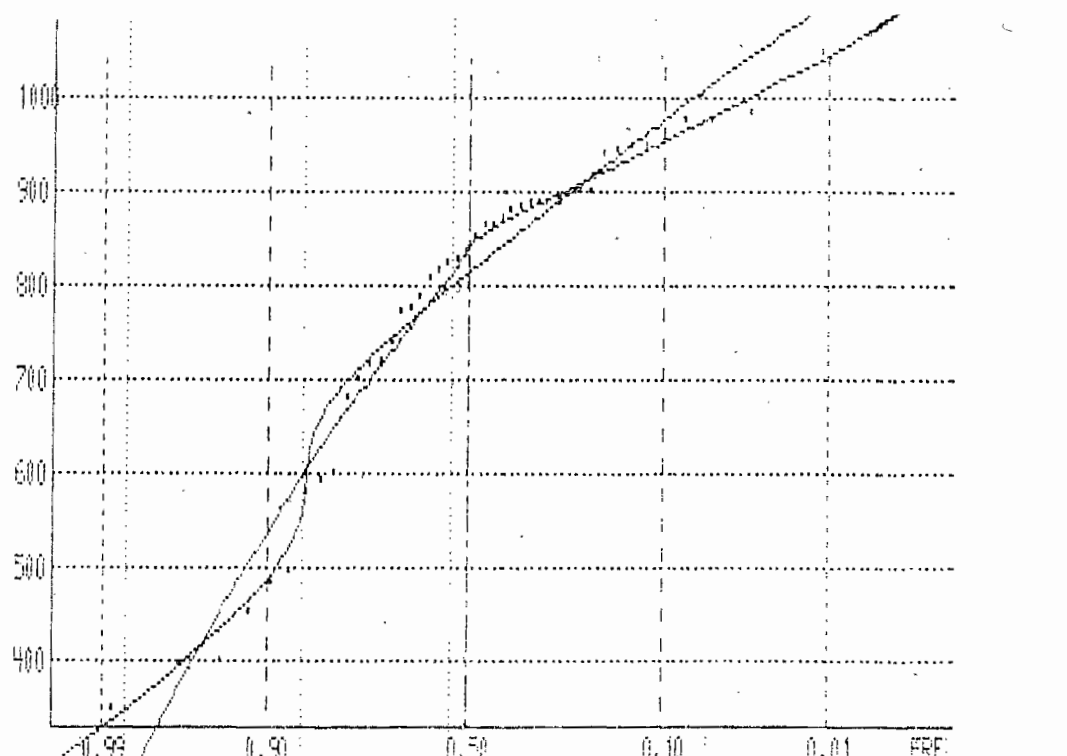
D1= .3767872415717

S1= 297.4634918153

D2= .5265075110477

S2= -149.9628949375

Figure n°4



STATION: MOPTI SUR LE FLEUVE BANI

HAUTEURS MOYENNES DE LA DECADE 23

TAILLE DE L'ECHANTILLON : 47

1	0.011	581	2	0.072	555	3	0.057	552	4	0.073	528	5	0.073	526	6	0.117	520	7	0.138	520	8	0.160	516	9	0.181	512	10	0.202	511
11	0.153	568	12	0.216	507	13	0.198	497	14	0.187	495	15	0.209	493	16	0.213	489	17	0.211	487	18	0.213	486	19	0.212	484	20	0.215	475
21	0.159	476	22	0.270	476	23	0.191	375	24	0.213	376	25	0.234	375	26	0.213	358	27	0.237	357	28	0.259	446	29	0.266	439	30	0.240	392

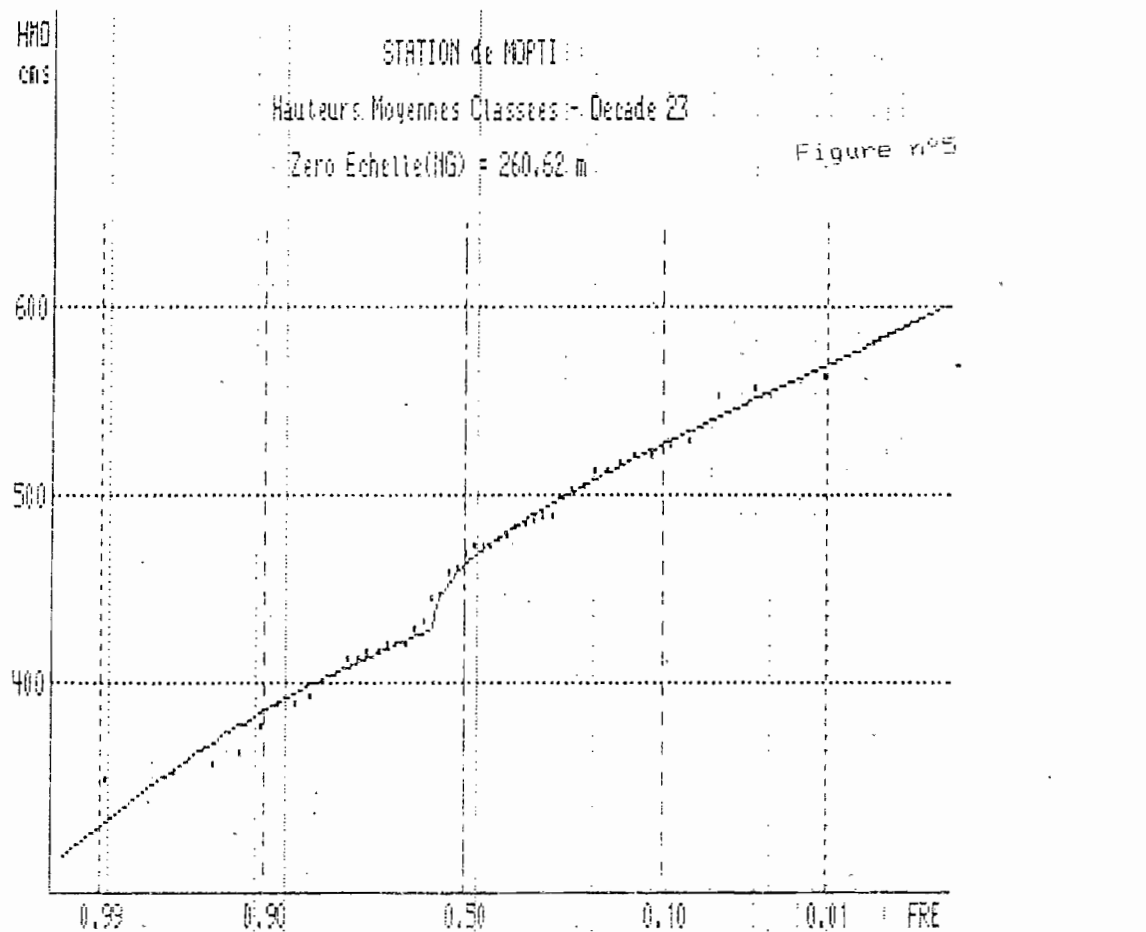
DISTRIBUTION EXPONENTIELLE GENERALISEE - LOIS TRONQUEES AVEC BORNE INFERIEURE ET SUPERIEURE

PARAMETRES DES DEUX DISTRIBUTIONS : (1) Borne inferieure - (2) Borne superieure

H0= 429      F0= .58      D1= .4290331939731      S1= 76.96597522452

D2= .9022541808541      S2= -31.74712660973

Tableau n°5



STATION: MOPTI SUR LE FLEUVE BANI

HAUTEURS MOYENNES DE LA DECADE 24

TAILLE DE L'ECHANTILLON : 47

1	0.011	504	2	0.032	597	3	0.053	596	4	0.074	580	5	0.096	572	6	0.117	569	7	0.138	562	8	0.160	560	9	0.181	558	10	0.202	558
11	0.223	551	12	0.245	548	13	0.266	545	14	0.287	543	15	0.309	542	16	0.330	538	17	0.351	535	18	0.372	534	19	0.394	531	20	0.415	530
21	0.436	530	22	0.457	528	23	0.479	526	24	0.500	526	25	0.521	521	26	0.543	516	27	0.564	511	28	0.585	510	29	0.606	500	30	0.628	499
31	0.649	496	32	0.670	495	33	0.691	483	34	0.713	476	35	0.734	475	36	0.755	472	37	0.777	470	38	0.798	470	39	0.819	469	40	0.840	465
41	0.862	459	42	0.883	455	43	0.904	444	44	0.926	441	45	0.947	440	46	0.968	437	47	0.989	427									

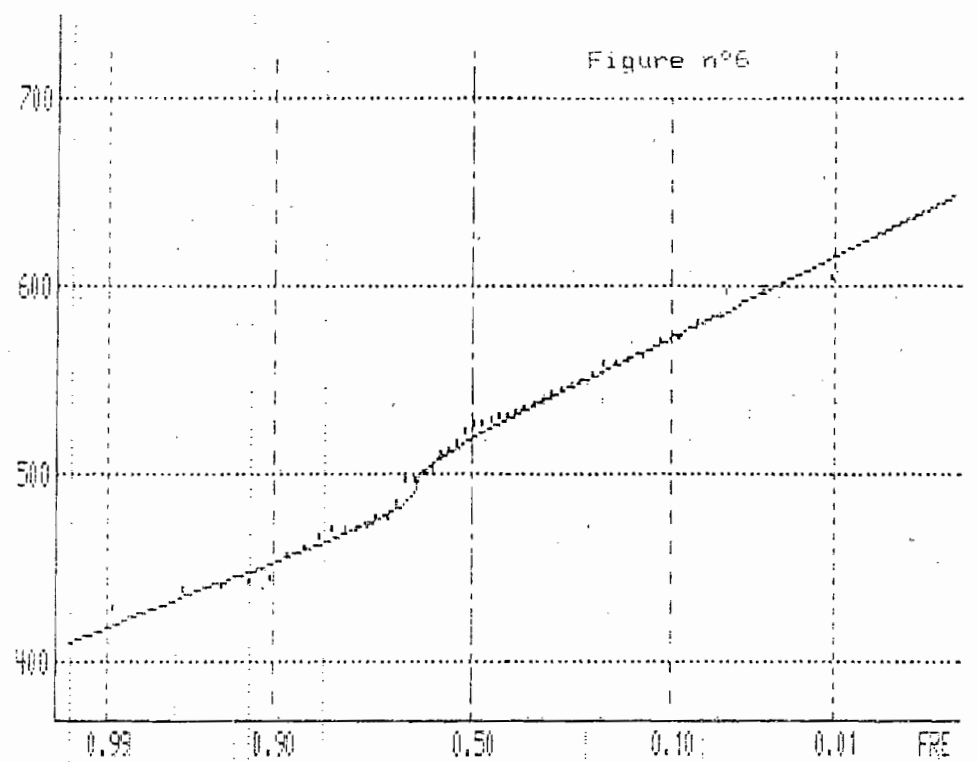
DISTRIBUTION EXPONENTIELLE GENERALISEE - LOIS TRONQUEES AVEC BORNE INFERIEURE ET SUPERIEURE

Tableau n°6

PARAMETRES DES DEUX DISTRIBUTIONS : (1) Borne inférieure + (2) Borne supérieure

H0= .490      F0= .85      D1= .526753925419      S1= 59.13611384998

D2= -.623e259281580      S2= -.02.25781270584



ANNEXE 2

MODELE DE PROPAGATION DE L'ONDE DE CRUE

BIEFS : DOUNA - BENENI KEGNY

DOUNA - SOFARA

## CARACTERISTIQUES DU BIEF: DOURA / BENEMI KEGNY

Temps en jours - Hauteurs en cas - N = Nombre de valeurs de la tranche analysees - R = coefficient de correlation correspondant

X = Hauteur moyenne de la station amont(en cas) - Y = idem station aval

N= 62	R= 0.884	X= 57.0	Y= 55.5	T= 3.75
N= 68	R= 0.914	X= 70.3	Y= 69.0	T= 4.75
N= 58	R= 0.916	X= 91.9	Y= 92.2	T= 4.75
N= 41	R= 0.840	X= 110.7	Y= 114.4	T= 5.25
N= 33	R= 0.775	X= 138.7	Y= 143.5	T= 6.25
N= 25	R= 0.724	X= 156.9	Y= 165.4	T= 9.50
N= 21	R= 0.615	X= 185.6	Y= 196.4	T= 4.50
N= 21	R= 0.625	X= 211.4	Y= 226.0	T= 4.00
N= 19	R= 0.604	X= 240.3	Y= 256.9	T= 2.25
N= 23	R= 0.768	X= 286.7	Y= 279.7	T= 4.25
N= 24	R= 0.840	X= 286.7	Y= 299.1	T= 4.25
N= 24	R= 0.477	X= 319.4	Y= 330.5	T= 4.50
N= 23	R= 0.599	X= 334.7	Y= 344.0	T= 4.50
N= 24	R= 0.727	X= 364.4	Y= 376.4	T= 5.25
N= 27	R= 0.585	X= 387.4	Y= 405.0	T= 4.75
N= 24	R= 0.673	X= 406.5	Y= 426.1	T= 3.75
N= 24	R= 0.731	X= 420.1	Y= 438.6	T= 5.25
N= 20	R= 0.831	X= 439.0	Y= 460.9	T= 5.75
N= 16	R= 0.908	X= 475.8	Y= 495.9	T= 5.00
N= 10	R= 0.822	X= 491.9	Y= 519.9	T= 5.50
N= 13	R= 0.830	X= 535.6	Y= 561.3	T= 5.50
N= 15	R= 0.908	X= 582.4	Y= 581.0	T= 5.50
N= 13	R= 0.906	X= 590.8	Y= 603.5	T= 6.25
N= 15	R= 0.956	X= 611.5	Y= 616.9	T= 6.00
N= 11	R= 0.985	X= 649.4	Y= 643.5	T= 7.00

Tableau n° 1

## PARAMETRES DU MODELE DE PROPAGATION DU BIEF : DOURA / BENEMI KEGNY

CALAGE EFFECTUE POUR LA PERIODE: 1966 / 1982

1	0.0000000000	2	0.0000000000	3	1.0236700000	4	4.7200000000
5	-0.000004570	6	0.0002578100	7	1.0606000000	8	-23.6254000000
9	0.0000000000	10	-0.0015379700	11	3.2181800000	12	-837.4900000000
13	200						
14	800						
15	0.00553995	16	0.15088000	17	-0.96231000	18	3.75000000
19	0.00000000	20	0.00000000	21	0.00000000	22	0.00000000
23	1300.000000						
24	-100.00						
25	0.00						

## CARACTERISTIQUES DU BIEF: DOUNA / SOFARA

Temps en jours - Hauteurs en cas - N = Nombre de valeurs de la tranche analysées - R = coefficient de corrélation correspondant

N= 177	R= 0.952	X= 61.4	Y= 40.4	T= 10.00
N= 138	R= 0.940	X= 77.5	Y= 63.4	T= 9.50
N= 100	R= 0.907	X= 96.7	Y= 92.5	T= 8.75
N= 76	R= 0.863	X= 112.1	Y= 119.5	T= 8.75
N= 68	R= 0.861	X= 127.7	Y= 145.0	T= 8.75
N= 58	R= 0.823	X= 143.8	Y= 171.0	T= 8.75
N= 48	R= 0.796	X= 159.0	Y= 193.2	T= 8.50
N= 44	R= 0.795	X= 175.3	Y= 219.2	T= 8.25
N= 43	R= 0.792	X= 195.4	Y= 243.7	T= 8.50
N= 33	R= 0.592	X= 209.3	Y= 272.8	T= 9.75
N= 33	R= 0.771	X= 226.1	Y= 293.1	T= 9.25
N= 33	R= 0.606	X= 244.8	Y= 322.9	T= 11.25
N= 32	R= 0.730	X= 275.5	Y= 355.1	T= 10.75
N= 43	R= 0.736	X= 299.7	Y= 381.8	T= 12.50
N= 49	R= 0.771	X= 328.3	Y= 403.8	T= 12.25
N= 55	R= 0.766	X= 360.5	Y= 428.7	T= 13.25
N= 56	R= 0.638	X= 386.1	Y= 447.9	T= 14.00
N= 54	R= 0.727	X= 421.1	Y= 474.4	T= 15.25
N= 50	R= 0.777	X= 451.3	Y= 493.7	T= 15.75
N= 46	R= 0.808	X= 496.9	Y= 522.5	T= 17.00
N= 43	R= 0.833	X= 541.4	Y= 546.1	T= 17.00
N= 38	R= 0.760	X= 572.8	Y= 572.3	T= 18.50
N= 36	R= 0.831	X= 622.7	Y= 584.9	T= 19.50
N= 24	R= 0.888	X= 692.9	Y= 611.7	T= 19.25
N= 13	R= 0.931	X= 753.8	Y= 630.8	T= 20.00

Tableau n° 2

## PARAMETRES DU MODELE DE PROPAGATION DU BIEF : DOUNA / SOFARA

CALAGE EFFECTUE POUR LA PERIODE: 1987 / 1982

1	0.000094390	2	-0.0161345000	3	2.2818400000	4	-53.5400000000
5	0.0000000000	6	0.0000000000	7	1.6000000000	8	-61.0000000000
9	0.0000006250	10	-0.0018928890	11	1.7331800000	12	-24.1800000000
13	100						
14	250						
15	-1.40807700	16	5.66768000	17	-10.73932000	18	14.37000000
19	0.0000000000	20	-0.20516500	21	3.99905000	22	1.85300000
23	150.000000						
24	60.00						
25	10.00						

Figure n°4

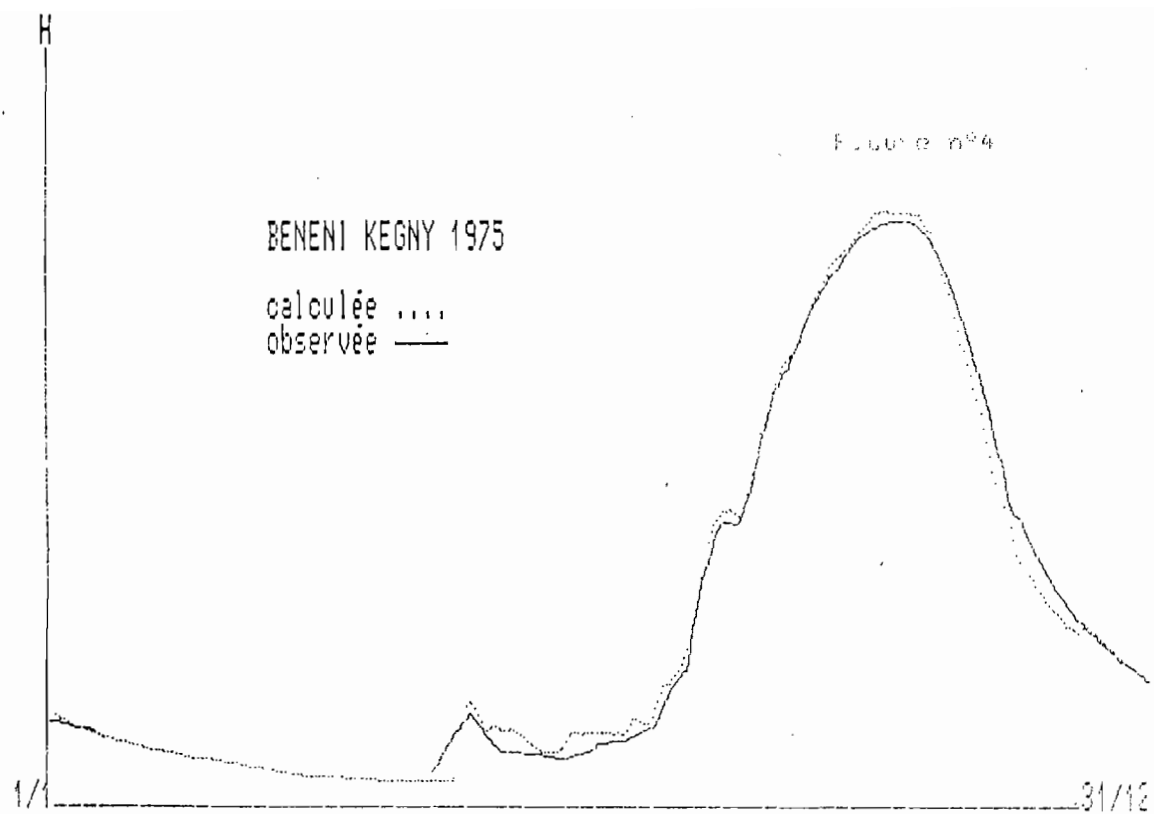
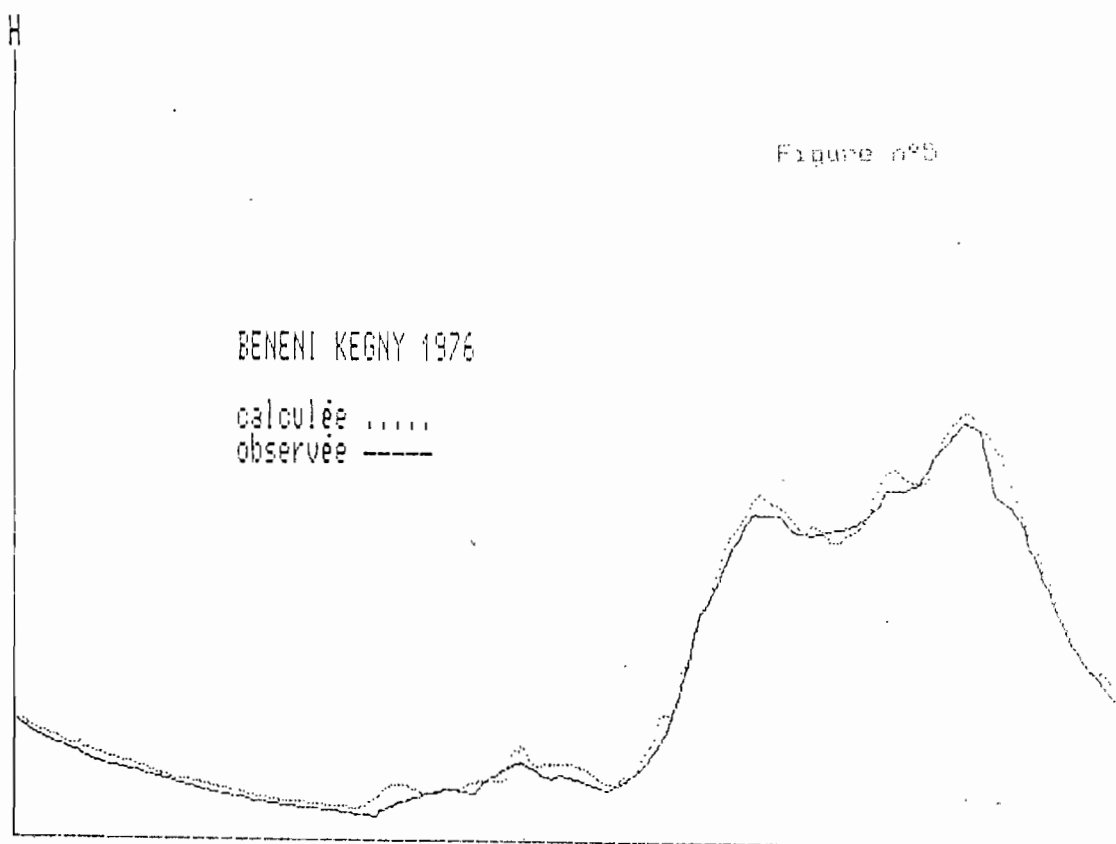
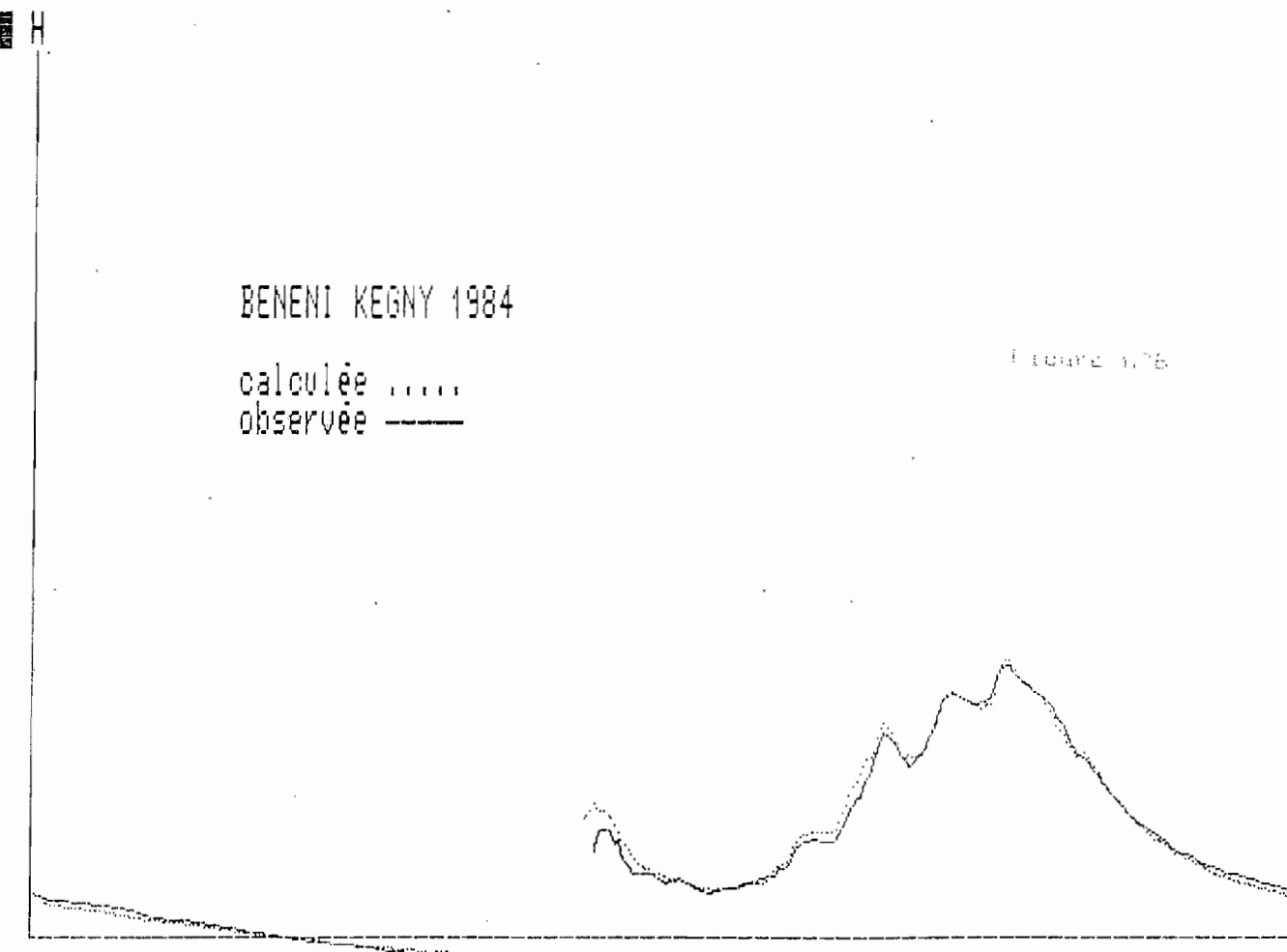


Figure n°5





ANNEXE 3

ETALONNAGES DES STATIONS DU BANI

BENENI KEGNY - SOFARA - MOPTI

Tiré de :

"ETUDES DES ANOMALIES DES CRUES DU FLEUVE NIGER"

J.P. LAMAGAT - M. MOLINIER - 1982

## 2.1.6. ANALYSE DES MESURES EFFECTUEES A BENENI KÉGNY

Nous disposons de deux séries de mesures qui correspondent chacune à un étalonnage non-univoque. Les comparaisons de modules par la méthode des double-cumuls nous a permis de placer dans le temps ce détarage au 1er Mai 1971.

### 2.1.6.1. Période antérieure à 1971

31 mesures de débits ont été effectuées de Novembre 1954 à Mai 1971. 21 d'entre elles sont utilisées pour l'analyse. La courbe pseudo-univoque est traduite par cinq tronçons de parabole dont les paramètres respectifs sont :

Tronçons (en m.)	0,05-1,00	1,00-2,00	2,00-4,00	4,0-7,0	7,0-9,0
a	44,468	34	24	40	87,5
b	9,745	97	166	246,7	477,5
c	1,61	51	182	610	1710

La correction utilisée qui reste la même pour toute la période des observations est la suivante :

$$Q_c = Q / (1 + 0,0255 \cdot G)^{0,5}$$

Le tableau n° 6 contient le détail de l'analyse qui a été réalisée comme les précédentes. Après analyse et l'application de la correction de gradient ci-dessus nous obtenons les résultats suivants :

N = Nombre de mesures utilisées.

	Q mesurés	Q corrigés
Total des écarts en % (N = 21)	244,2	95,0
Ecart moyen en %	11,6	4,5
Total des écarts en % (N = 19)	211,2	72,7
Ecart moyen en %	11,1	3,8

### 2.1.6.2. Période postérieure à 1971

La même correction est appliquée aux mesures de débits dont nous disposons. Nous traçons une courbe moyenne qui est traduite par six tronçons de parabole dont les paramètres respectifs sont :

Tronçons: (m)	0,05 - 0,3	0,3 - 1	1 - 2	2 - 4	4 - 6	6 - 9
a	14,667	67,111	22	17,5	34	77,778
b	17,133	23,308	135	189,5	286	403,333
c	1,6	6,8	56	213	662	1370

Le tableau n° 6.1. bis contient le détail de l'analyse. La réduction des écarts est la suivante :

	Q mesurés	Q corrigés
Total des écarts en % (N = 11)	61,3	21,0
Ecart moyen en %	5,4,7	1,6
Total des écarts en % (N = 10)	42,2	15,5
Ecart moyen en %	3,5	1,3

TABLEAU N° 6.

## STATION DE BENENI KEGNY

- Analyse des mesures effectuées

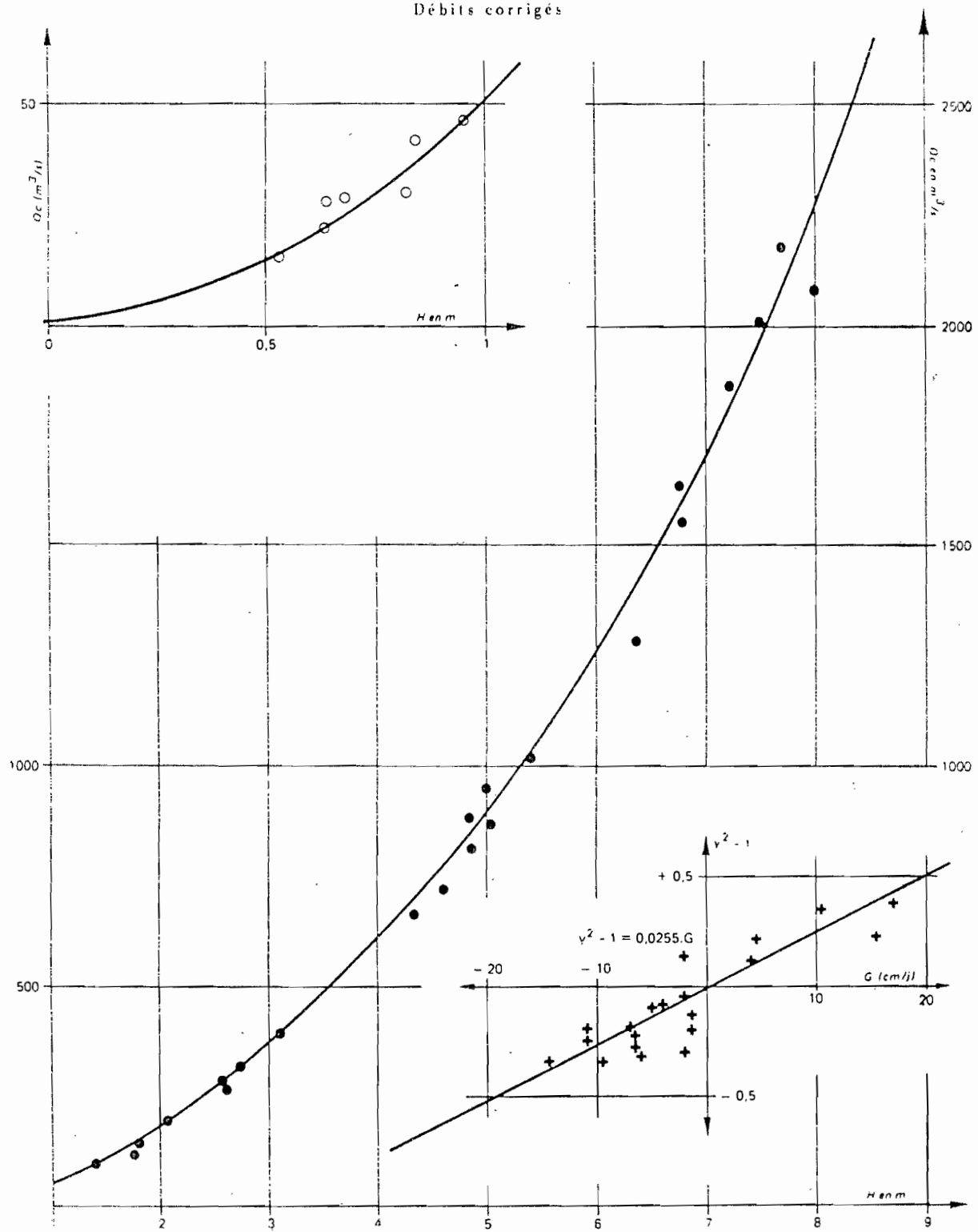
N°	DATE	H(m)	Q(m³/s)	DH-1 (cms)	$y^2 - 1$	$Q_c$ (m³/s)	$DQ/Q_c$ (%)	$DQ_c/Q_c$ (%)
1	28/11/54	6,77	1.410	- 6,5	- 0,224	1.554	- 11,9	- 2,9
2	14/02/55	2,04	190	- 2,0	+ 0,014	197	+ 0,7	+ 4,4
3	24/05/55	0,72	70,2	- 0,5		71,3		
4	6/12/55	5,00	804	- 11,0	- 0,196	953	- 10,3	+ 6,3
5	18/07/56	0,84	44,0	+ 4,0		42,3		
6	14/12/56	3,10	353	- 7,0	- 0,196	392	- 10,3	- 0,4
7	20/12/56	2,71	297	- 5,0	- 0,094	320	- 4,8	+ 2,6
8	25/01/57	1,79	138	- 1,5	- 0,140	142	- 7,3	- 4,6
9	9/08/57	4,33	771	+15,5	+ 0,228	660	+ 10,3	- 5,1
10	16/09/57	7,67	2.280	+ 4,5	+ 0,214	2.180	+ 10,2	+ 5,4
11	14/01/58	2,57	271	- 4,0	- 0,092	288	- 4,7	+ 1,3
12	11/03/58	1,39	96,0	- 2,0	+ 0,043	99,3	+ 2,1	+ 5,6
13	15/08/58	5,39	1.211	+17,0	+ 0,382	1.023	+ 17,6	- 0,7
14	17/11/58	6,36	1.175	- 6,0	- 0,310	1.286	- 17,0	- 9,1
15	5/12/58	4,85	735	- 6,5	- 0,250	810	- 13,4	- 4,5
16	20/08/58	4,83	982	+10,5	+ 0,359	881	+ 16,6	+ 4,6
17	18/09/59	7,52	2.090	+ 4,0	+ 0,112	2.010	+ 5,5	+ 1,4
18	22/10/59	7,98	2.027	- 1,5	- 0,197	2.084	- 10,4	- 7,9
19	3/11/59	7,23	1.571	-11,0	- 0,259	1.861	- 13,9	+ 2,0
20	7/11/59	6,76	1.293	-14,5	- 0,343	1.634	- 19,0	+ 2,4
21	19/11/59	5,02	700	-17,5	- 0,399	868	- 22,5	- 3,9
22	23/11/59	4,60	624	- 9,5	- 0,347	721	- 19,2	- 6,7
23	20/01/60	1,75	120	- 2,0	- 0,295	124	- 16,0	- 13,2
24	15/03/60	0,95	45,4	- 1,0		46,4		
25	28/03/60	0,82	29,4	- 1,0		30,0		
26	17/04/60	0,68	28,8	- 1,0		29,4		
27	8/05/60	0,64	28,0	0,0		28,0		
28	21/07/60	2,59	312	+15,5		267		
29	12/06/63	0,53	16,1	+ 2,0		15,8		
30	20/05/60	0,63	21,5	- 1,0		22,0		
31	9/10/67	8,34	2.725	- 0,5	- 0,011	2.738	- 0,5	- 0,1
32	5/09/71	5,95	1.430	+ 6,0	+ 0,124	1.324	+ 6,0	- 1,9
33	5/04/74	0,05	1,6	0,0	0,000	1,6	+ 0,0	0,0
34	29/08/76	3,62	585	+ 6,5	+ 0,069	538	+ 3,4	- 4,9
35	11/10/76	3,93	670	+ 3,0	+ 0,083	643	+ 4,1	- 0,1
36	1/05/78	0,28	6,5	0,0	+ 0,059	6,5	+ 2,9	+ 2,9
37	7/05/80	0,22	4,9	0,0	- 0,015	4,9	- 0,7	+ 0,7
38	3/08/80	1,74	177	+ 5,0	+ 0,111	166	+ 5,4	- 1,2
39	29/08/80	3,50	639	+10,0	+ 0,418	566	+19,1	+ 5,5
40	7/09/80	4,65	940	+ 8,0	+ 0,188	851	+ 9,0	- 1,3
41	12/09/80	5,22	1.150	+ 6,0	+ 0,174	1.065	+ 8,3	+ 0,3
42	27/09/80	5,47	1.150	- 2,0	- 0,010	1.180	- 0,5	+ 2,1

BENENI KEGNY

Fig. 6.1.

Période antérieure à 1967

Débits corrigés

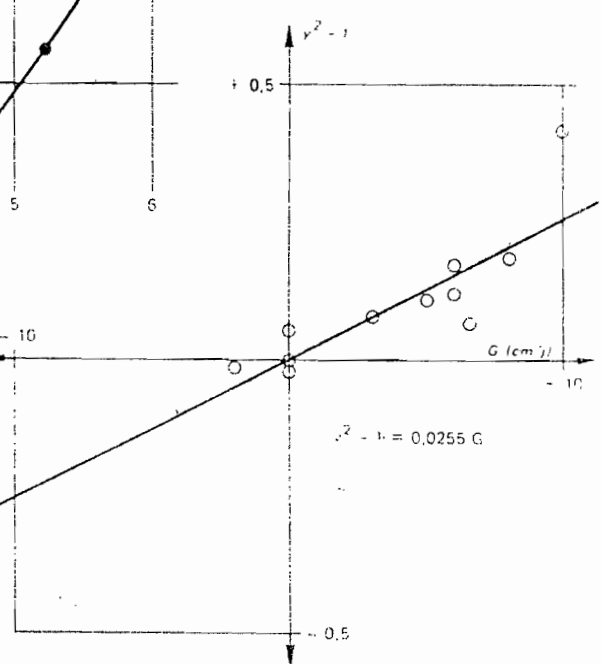
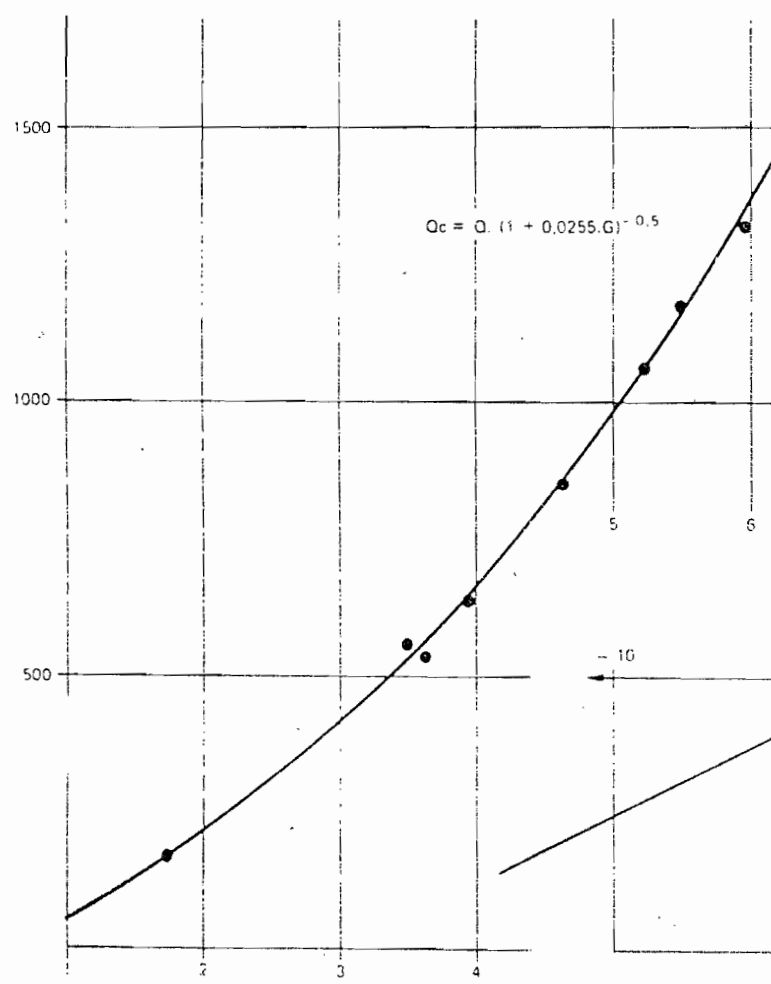
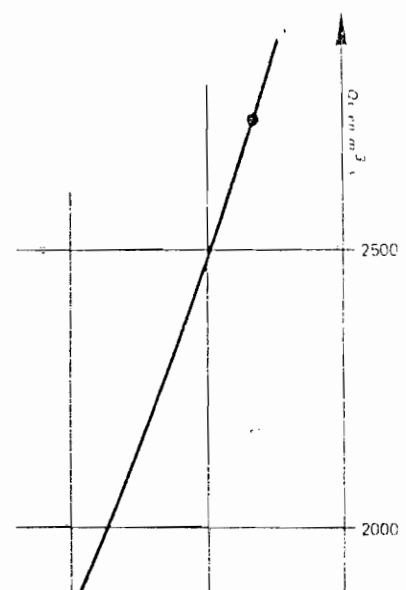
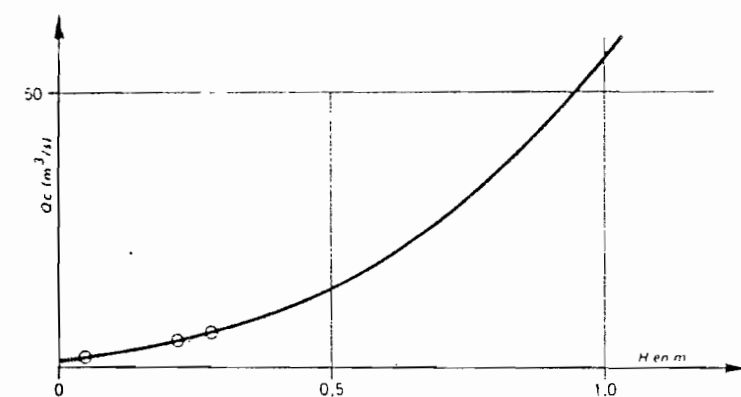


BENENI - KEGNY

Fig. 6.2

Période postérieure à 1967

Débits corrigés



### 2.1.7. ANALYSE DES MESURES EFFECTUEES A SOFARA

39 mesures de débits ont été effectuées à SOFARA du 24/11/51 au 29/09/60. Ces mesures ont été analysées et après correction de gradient :

$$K = 0,0387$$

Le débit corrigé est de la forme :

$$Q_c = Q / (1 + 0,0387 \cdot G)^{0,5}$$

Nous avons tracé la courbe pseudo-univoque à l'aide des débits corrigés, elle est représentée par cinq tronçons de parabole dont les paramètres sont :

Tronçons (m):	-0,5-0,0	0,0-1,0	1,0-2,0	2,0-4,0	4,0-7,2
a	16,867	38	15	27,5	41,111
b	0,527	20	81,5	115,5	235
c	0,020	4,5	62,5	159	500

Le tableau n° 7 contient le détail de l'analyse. Nous n'avons pas pris en considération les mesures effectuées à des cotes à l'échelle de crue inférieures à 1,0m. Seules 22 mesures ont été utilisées dans l'évaluation du coefficient de correction de gradient limnimétrique. Pour le tracé de la courbe pseudo-univoque, toutes les mesures ont été utilisées.

La valeur limite inférieure, ACO est égale à :

$$ACO = - 0,50$$

A partir du tableau n° 7 nous tirons de l'analyse les éléments suivants :

	Débits mesurés	Débits corrigés
Total des écarts en % (N = 22)	196,4	39,3
Ecart moyen en %	8,9	1,8
Total des écarts en % (N = 20)	178,4	31,9
Ecart moyen en %	8,9	1,6

La valeur fixée pour ACO correspond à un gradient minimal de - 16,7 cm/j. La figure n° 7 représente la courbe pseudo-univoque avec les mesures corrigées par le gradient limnimétrique.

TABLEAU N° 7.

## STATION DE SOFARA

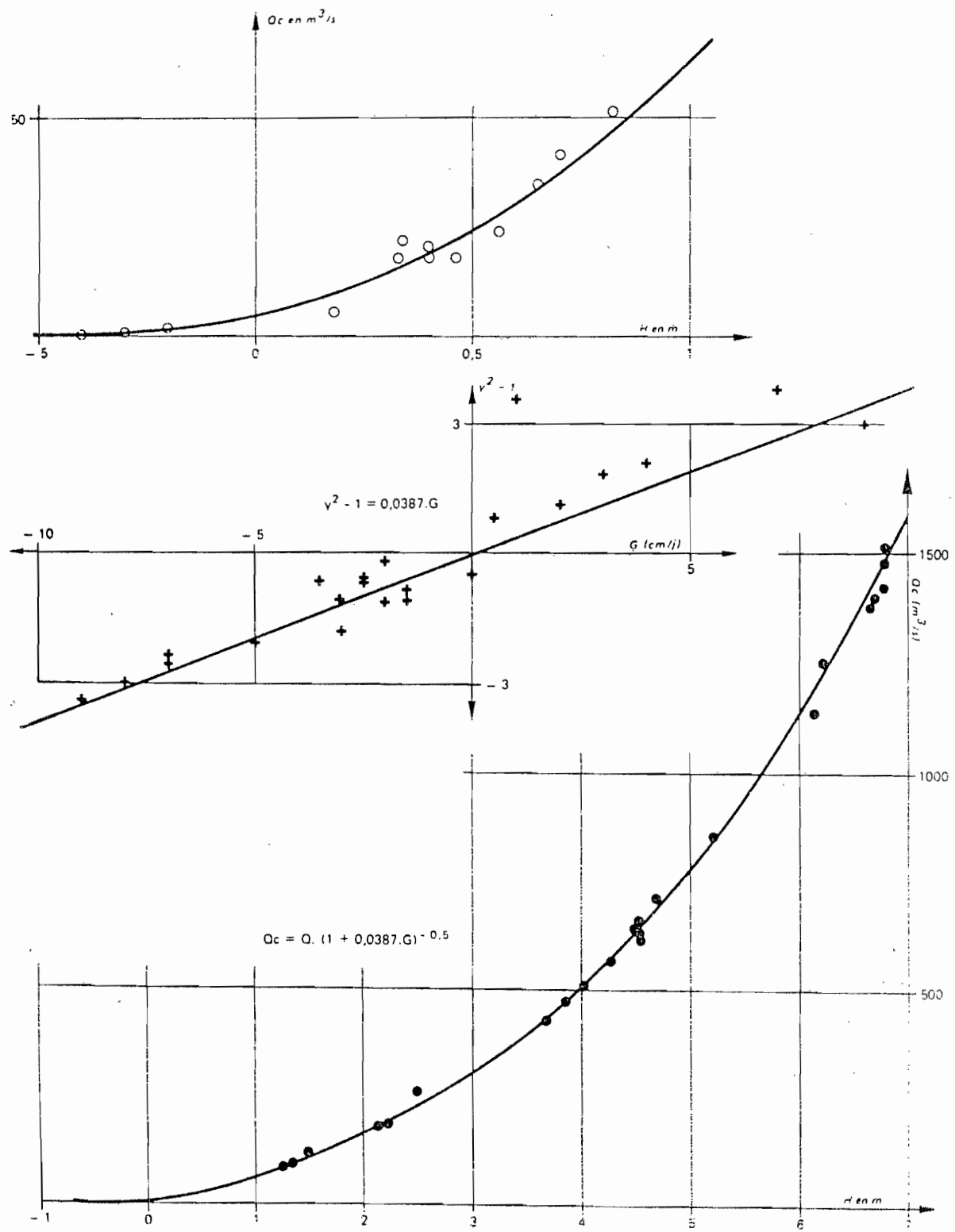
- Analyse des mesures effectuées à SOFARA -.

N°	DATE	H (m)	Q (m³/s)	DH-1 (cms)	$y^2 - 1$	$Q_C$ (m³/s)	$DQ/Q_0$ (%)	$DQ_C/Q_0$ (%)
1	24/11/51	6,79	1392	- 3	- 0,111	1481	- 6,5	- 0,4
2	28/01/52	3,86	404	- 7	- 0,258	473	- 14,6	0,0
3	28/03/52	1,27	81	- 2	- 0,015	84	- 5,4	- 1,9
4	7/06/52	0,34	22			22		
5	1/12/54	6,64	1345	- 1,5	- 0,086	1386	- 3,9	- 1,0
6	12/02/55	2,69	244	- 3,5	- 0,061	262	- 4,0	+ 3,1
7	27/03/56	1,32	87	- 2,5	- 0,068	92	- 3,5	+ 2,1
8	23/05/56	0,70	40	- 2		42		
9	15/12/56	4,50	548	- 7	- 0,238	642	- 14,0	+ 0,8
10	19/12/56	4,26	457	- 9	- 0,343	566	- 20,0	- 0,9
11	26/01/57	2,15	171	- 2,5	- 0,066	180	- 3,7	+ 1,4
12	9/05/57	0,56	24	+ 1		24		
13	15/09/57	6,22	1345	+ 4	+ 0,207	1252	+ 12,0	+ 4,2
14	15/01/58	4,02	421	- 8	- 0,304	507	- 17,3	- 0,4
15	14/08/58	4,53	741	+ 0,5	+ 0,357	634	+ 14,8	- 1,8
16	30/11/58	6,13	1075	- 3	- 0,180	1143	- 8,0	- 2,2
17	23/08/59	4,54	730	+ 9	+ 0,306	629	+ 12,6	- 3,0
18	26/10/59	5,75	1420	0,0	- 0,050	1420	- 3,0	- 3,0
19	6/11/59	6,68	1340	- 2	- 0,116	1395	- 5,8	- 2,0
20	21/01/60	2,20	173	- 1,5	- 0,108	178	- 6,0	+ 3,2
21	15/03/60	0,82	50	- 2		52		
22	1/04/60	0,65	34	- 1		35		
23	23/04/60	0,46	17,4	- 1		18		
24	12/05/60	0,40	19,1	+ 0,5		19		
25	11/06/63	0,33	17,3	- 1		18		
26	21/05/67	0,40	21,0	- 1		21		
27	11/10/67	6,78	1530	+ 0,5	+ 0,082	1515	+ 3,2	+ 2,2
28	9/07/73	0,18	5,8	- 0,5		5,9		
29	25/04/74	-0,30	0,8	0,0		0,8		
30	22/06/74	-0,40	0,1	0,0		0,1		
31	28/04/78	-0,20	2,4	0,0		2,4		
32	22/08/79	3,685	385	- 5	- 0,205	429	- 11,6	- 1,5
33	6/05/80	-0,16	3,3					
34	1/08/80	1,49	148	+ 10,5	(0,948)	125	+ 39,6	+ 17,5
35	19/08/80	3,125	456	+ 4				
36	27/08/80	3,44	487	+ 4				
37	9/09/80	4,54	675	+ 2	+ 0,116	650	+ 4,1	+ 0,3
38	11/09/80	4,68	7,98	+ 7	+ 0,382	708	+ 15,9	+ 2,8
39	29/09/80	5,20	904	+ 3	+ 0,185	856	+ 6,5	+ 0,9

le BANI à SOFARA

Fig. 7

Débits corrigés



## 2.1.8. ANALYSE DES MESURES EFFECTUEES A MOPTI

L'analyse conduit à conserver la même courbe d'étalement et la même correction pendant toute la période des observations.

La série de cinq mesures effectuées en 1980 ne permet pas de conclure à un détarage de la section pour diverses raisons. Il semble bien que l'équipe ait surévalué les résultats des mesures. La confirmation des valeurs fortes obtenues en 1980 s'impose et une campagne complète de jaugeages doit être réalisée à NANTAKA.

### 2.1.8.1. Mesures antérieures à 1963

Comme indiqué ci-dessus nous avons établi une courbe correspondant au régime uniforme. Cette courbe est essentiellement tracée à partir des jaugeages effectués après 1960, ceci pour la partie des débits supérieurs à 2000 m<sup>3</sup>/s, soit sensiblement pour les cotes supérieures à 5,50 mètres à l'échelle de crue de MOPTI.

Au-delà de 5,5 m, les mesures antérieures à 1960 semblent bien avoir été réalisées à la station de NIMITIGO comme l'indique C. AUVRAY dans la première monographie du NIGER; il estime que les débits sont sous-estimés de 4% environ. Au moment de la rédaction de l'ouvrage d'Auteur ne possédait pas les séries de mesures de 1967 et 1969 qui couvrent complètement la plage de cotes comprises entre 5,5m et 7,2 mètres à l'échelle de crue de MOPTI.

Il y a une mise en vitesse des débordements qui se produisent, au-delà de la cote 5,50, dans les plaines d'inondations de rive gauche et dans le bras de rive droite. Pour une faible augmentation de cote, les vitesses doivent croître très rapidement et les erreurs de l'ordre de 6 à 7% à la cote 6,00 passent à environ 17% à la cote 7,00 mètres à l'échelle de MOPTI.

Il serait illusoire de conclure à un détarage de la section de NANTAKA, et en fait de l'échelle de crue de MOPTI, car toutes les mesures effectuées au dessous de la cote 5,50 sont bien dans le système de tarage utilisé actuellement. Quelques erreurs dues au fait que nous prenons comme cotes de références celles de l'échelle de MOPTI, qui est située sur le FANI à l'amont de la confluence avec le NIGER, correspondent davantage à une dispersion provenant de l'imprécision de la connaissance des cotes du plan d'eau au niveau de la section de jaugeages de NIMITOGO.

120 mesures de débits, mises à part les mesures effectuées au-dessus de 5,50 mètres à MOPTI, sont utilisées pour tracer la courbe "pseudo-univoque" correspondant à un régime uniforme. Avant 1964 il a été réalisé 30 mesures dont 6 au dessus de 5,5 mètres. La courbe moyenne est représentée par 7 tronçons de paraboles dont les paramètres sont les suivants:

Tronçons(m) :	0,0	0,4	1,0	2,0	3,0	5,0	6,0	7,3
a	100	33,33	32	106	78	70	148,32	
b	-2,5	66,67	13	195	414	715	777,34	
c	0,0	15	67	229	530	1670	2455	

La correction de gradient limnimétrique est la suivante :

$$Q_0 = Q / (1 + K \cdot G)^{0,5} \quad \text{avec } K = 0,030$$

Le tableau n° 8 contient le détail de l'analyse, la réduction des écarts est la suivante :

	Mesurées	Corrigées
Total des écarts en % (N = 89)	532,1	412,1
Ecart moyen en %	6,0	4,6
Total des écarts en % (N = 80)	405,5	302,1
Ecart moyen en %	5,1	3,8

Les figures 8.1. et 8.2. présentent la courbe "pseudo-univoque" et la droite de correction.

La valeur limite du gradient négatif (ACO) est fixée à :

$$ACO = -0,50$$

Soit :

$$G_{min} = -16,7 \text{ cms/jour}$$

TABLEAU N° 8

STATION DE MOPTI

- Analyse des mesures de débits effectuées avant 1964 -.

N°	DATE	H(cm)	Q(m³/s)	DH-1 (cms)	$y^2 - 1$	$Q_c$ (m³/s)	$DQ/Q_o$ (%)	$DQ_c/Q_o$ (%)	H(cm) Obs.
1	22/08/51	527	1.780	+ 5,5	- 0,092	1.649	- 4,1	- 11,7	527
2	21/11/51	710	2.805	+ 0,5	- 0,356	2.784	- 19,7	- 20,3	709
3	26/01/52	527	1.570	- 6,5	- 0,294	1.750	- 16,0	- 6,3	527
4	27/03/52	232	279	- 6,5	- 0,148	311	- 7,7	+ 2,9	232
5	8/06/52	126	130	+ 3,0		125			127
6	19/02/54	310	507	- 3,5	- 0,215	536	- 11,4	- 6,3	300
7	30/03/55	231	325	- 2,5	+ 0,176	338	+ 8,5	+ 12,8	231
8	23/03/56	230	292	- 3,5	- 0,034	309	- 1,7	+ 4,0	230
9	18/12/56	540	1.772	- 7,0	- 0,189	1.994	- 9,9	+ 1,4	544
10	18/02/57	233	265	- 4,5	- 0,245	285	- 13,1	- 6,5	233
11	8/05/57	100	74	0,0		74			100
12	6/08/57	473	1.600	+ 6,0	+ 0,169	1.473	+ 8,1	- 0,5	466
13	14/09/57	639	2.590	+ 3,0	- 0,132	2.481	- 6,9	- 10,8	633
14	16/01/58	514	1.573	- 8,0	- 0,212	1.804	- 11,2	+ 1,8	516
15	19/02/58	346	530	- 6,5	- 0,483	591	- 28,1	- 19,8	344
16	12/03/58	268	278	- 6,5	- 0,542	310	- 32,3	- 24,5	265
17	4/06/58	227	357	+14,0	+ 0,522	300	+ 23,4	+ 3,7	222
18	25/07/58	414	1.224	+ 2,5	+ 0,231	1.181	+ 10,9	+ 7,0	412
19	13/08/58	464	1.554	+ 5,0	+ 0,200	1.449	+ 9,5	+ 2,1	462
20	22/08/58	515	1.942	+ 4,5	+ 0,192	1.823	+ 9,2	+ 2,5	509
21	6/09/58	580	2.400	+ 3,5	+ 0,101	2.283	+ 5,0	- 0,2	577
22	2/10/58	672	2.769	+ 3,0	- 0,198	2.652	- 10,4	- 14,2	659
23	21/11/59	670	2.555	- 2,0	- 0,308	2.635	- 16,8	- 14,2	676
24	9/12/59	604	2.134	- 4,5	- 0,263	2.294	- 14,2	- 7,7	610
25	14/03/60	142	120	- 2,5		125			143
26	31/03/60	120	84	- 1,5		86			120
27	22/04/60	92	55	0,0		55			92
28	11/05/60	74	39	- 1,5		40			83
29	23/07/60	376	1.075	+ 8,0	+ 0,460	865	+ 20,8	+ 8,2	374
30	9/06/63	140	130	0,0		130			140

- La dernière colonne contient les hauteurs consignées sur la feuille de relevés de l'observateur de l'échelle de crue de MOPTI -.

TABLEAU N° 8.1.

## STATION DE MOPTI

- Analyses des mesures effectuées à partir de 1964 -.

N°	DATE	H (cm)	Q (m³/s)	DH-1 (cm)	$y^2 - 1$	$Q_C$ (m³/s)	$DQ/Q_0$	$DQ_C/Q_0$
32	24/05/67	052	44	0,0		44		
33	15/10/67	690	3370	+ 1,0	0,029	3321	+ 1,4	0,0
34	17/10/67	693	3340	+ 1,5	-0,009	3267	- 0,5	- 2,6
35	19/10/67	696	3450	+ 1,5	+0,036	3375	+ 1,8	- 0,4
36	24/10/67	702	3465	+ 1,0	+0,004	3414	+ 0,2	- 1,3
37	29/10/67	708	3605	+ 1,0	+0,045	3552	+ 2,2	+ 0,7
38	1/11/67	710	3565	+ 1,0	+0,008	3513	+ 0,4	- 1,0
39	4/11/67	713	3540	+ 1,0	-0,025	3488	- 1,3	- 2,7
40	7/11/67	716	3525	+ 0,5	-0,052	3499	- 2,6	- 3,4
41	11/11/67	719	3625	0,0	-0,023	3615	- 1,1	- 1,1
42	13/11/67	720	3640	0,0	-0,015	3640	- 0,8	- 0,8
43	16/11/67	720	3630	0,0	-0,021	3630	- 1,0	- 1,0
44	19/11/67	718	3610	- 1,5	-0,019	3694	- 0,9	- 1,4
45	22/11/67	715	3440	- 1,0	-0,091	3493	- 4,7	- 3,2
46	25/11/67	711	3460	- 1,0	-0,056	3513	- 2,9	- 1,4
47	28/11/67	704	3390	- 1,5	-0,051	3469	- 2,6	- 0,3
48	30/11/67	701	3330	- 2,5	-0,066	3462	- 3,4	+ 0,5
50	22/10/68	650	2840	0,0	-0,045	2840	- 2,3	- 2,3
51	25/10/68	651	2790	+ 0,5	-0,084	2769	- 4,3	- 5,0
53	1/11/68	650	2900	- 0,5	-0,004	2922	- 0,2	+ 0,6
55	8/11/68	641	2760	- 4,5	-0,041	2824	- 2,1	+ 0,2
57	14/11/68	629	2610	- 1,5	-0,070	2671	- 3,6	- 1,3
59	18/11/68	619	2500	- 2,5	-0,087	2599	- 4,5	- 0,7
61	22/11/68	608	2390	- 4,0	-0,102	2548	- 5,2	+ 1,0
62	25/11/68	602	2310	- 3,0	-0,126	2422	- 6,5	- 2,0
63	10/10/69	666	3110	+ 2,0	+0,029	3021	+ 1,4	- 1,5
64	12/10/69	670	3140	+ 1,0	+0,021	3094	+ 1,0	- 0,4
65	14/10/69	670	3180	+ 1,0	+0,047	3133	+ 2,3	+ 0,6
66	16/10/69	674	3220	+ 2,0	+0,045	3128	+ 2,2	- 0,7
67	19/10/69	676	3275	+ 1,0	+0,067	3237	+ 3,3	+ 1,8
68	21/10/69	678	3320	0,0	+0,082	3320	+ 4,0	+ 4,0
69	23/10/69	678	3360	+ 1,0	+0,108	3311	+ 5,3	+ 3,7
70	25/10/69	680	3380	0,0	+0,106	3380	+ 5,2	+ 5,2
71	27/10/69	680	3385	0,0	+0,110	3385	+ 5,3	+ 5,3
72	29/10/69	681	3380	+ 0,5	+0,099	3355	+ 4,8	+ 4,1
73	31/10/69	681	3375	+ 1,0	+0,096	3325	+ 4,7	+ 3,1
74	2/11/69	684	3350	0,0	+0,058	3350	+ 2,9	+ 2,9
75	4/11/69	684	3300	0,0	+0,027	3300	+ 1,3	+ 1,3
76	7/11/69	681	3250	- 1,0	+0,016	3300	+ 0,5	+ 2,3
77	10/11/69	680	3220	0,0	+0,004	3220	+ 0,2	+ 0,2
78	13/11/69	680	3270	+ 1,0	+0,035	3222	+ 1,8	+ 0,3
79	15/11/69	684	3370	+ 1,0	+0,071	3321	+ 4,4	+ 2,9
80	17/11/69	684	3410	0,0	+0,096	3410	+ 5,7	+ 5,7
81	20/11/69	682	3380	- 1,0	+0,092	3432	+ 5,4	+ 7,1
82	12/11/69	682	3360	- 0,5	+0,079	3385	+ 4,8	+ 5,6
83	24/11/69	680	3340	- 0,5	+0,080	3365	+ 4,9	+ 5,7
84	26/11/69	679	3310	- 0,5	+0,068	3335	+ 4,3	+ 5,1
85	28/11/69	678	3275	- 1,5	+0,053	3351	+ 3,5	+ 5,9
86	30/11/69	675	3215	- 1,5	+0,035	3290	+ 2,6	+ 5,0
87	2/12/69	670	3140	- 1,5	+0,021	3213	+ 1,9	+ 4,3
88	5/12/69	664	3000	- 2,0	-0,030	3094	- 0,7	+ 2,4
89	8/12/69	654	2870	- 4,0	-0,050	3059	- 1,8	+ 4,6
90	10/12/69	646	2760	- 4,0	-0,073	2942	- 3,1	+ 3,3
91	14/12/69	630	2550	- 4,0	-0,118	2718	- 5,7	+ 0,5

TABLEAU N° 8.1.1

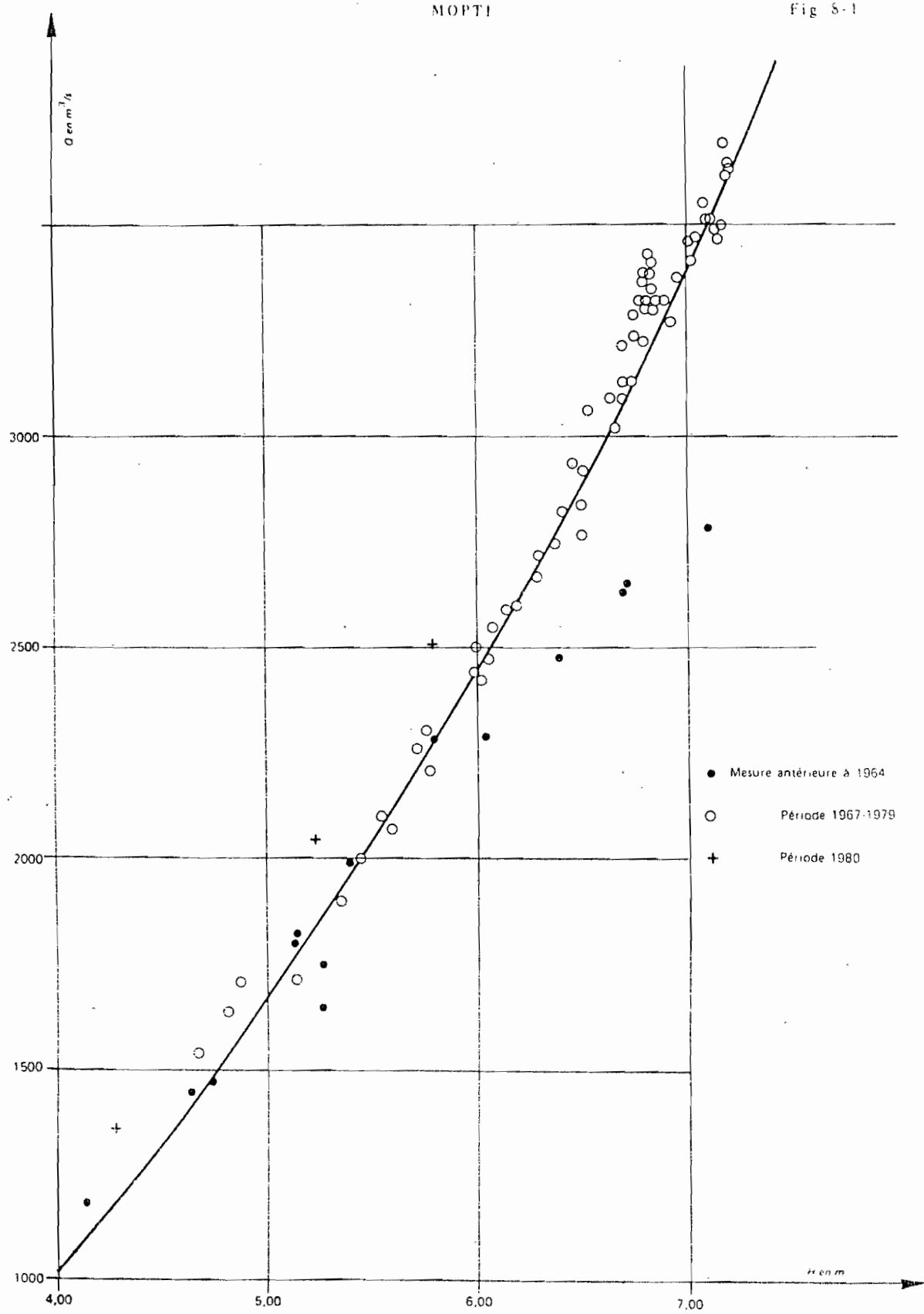
## STATION DE MOPTI

- Analyse des mesures effectuées à partir de 1964 (suite)

N°	DATE	H(cm)	Q(m³/s)	DH-1 (cm)	$y^2 - 1$	$Q_c$ (m³/s)	$DQ/Q_o$	$DQ_c/Q_c$
92	17/12/69	615	2390	- 5,0	-0,143	2592	- 7,2	+ 0,6
93	20/12/69	600	2225	- 7,0	-0,179	2503	- 9,4	+ 2,0
94	23/12/69	578	2070	- 4,0	-0,169	2207	- 8,8	- 2,8
95	26/12/69	560	1890	- 5,5	-0,208	2068	-11,0	- 2,6
96	30/12/69	536	1690	- 7,0	-0,238	1901	-12,7	- 1,6
97	2/01/70	514	1550	- 6,0	-0,234	1712	-12,5	- 3,4
98	9/04/70	114	86	- 3,0		90,2		
99	24/04/70	110	82	+ 6,0		75,5		
100	5/60/73	023	2,5	0,0		2,5		
101	22/04/74	039	17,5	- 0,5		17,6		
102	5/11/74	638	2730	- 0,5	-0,043	2751	- 1,6	- 0,9
103	13/11/74	606	2365	- 3,0	-0,109	2479	- 5,5	- 0,9
104	22/11/74	555	1900	- 6,0	-0,169	2098	- 8,8	+ 0,7
105	30/11/74	487	1490	- 8,0	-0,118	1709	- 5,5	+ 8,4
106	7/12/76	599	2310	- 3,5	-0,108	2442	- 5,6	- 0,2
107	12/12/76	576	2105	- 5,5	-0,131	2304	- 6,8	+ 2,0
108	13/12/76	571	2063	- 5,5	-0,131	2258	- 6,9	+ 2,0
109	17/12/76	544	1755	- 7,5	-0,229	1994	-12,2	- 0,2
110	26/12/76	481	1430	- 8,0	-0,147	1640	- 6,8	+ 6,8
111	28/12/76	467	1360	- 7,5	-0,134	1545	- 5,5	+ 7,4
112	26/01/77	309	505	- 2,0	-0,311	521	-11,1	- 8,3
113	26/02/77	273	470	- 2,0	+0,095	485	+ 9,9	+13,4
114	15/09/77	230	308	+ 7,5	+0,043	293	+ 3,7	- 1,4
115								
116	31/07/80	221	425	+11,0	1,355	369	+54,8	+34,4
117	21/08/80	400	1300	+ 7,5	+0,476	1175	+27,2	+15,0
118	25/08/80	428	1510	+ 7,5	+0,511	1364	+27,1	+14,8
119	10/09/80	523	2220	+ 6,0	+0,459	2044	+20,8	+11,2
120	30/09/80	579	2544	+ 1,0	+0,247	2507	+11,7	+10,0

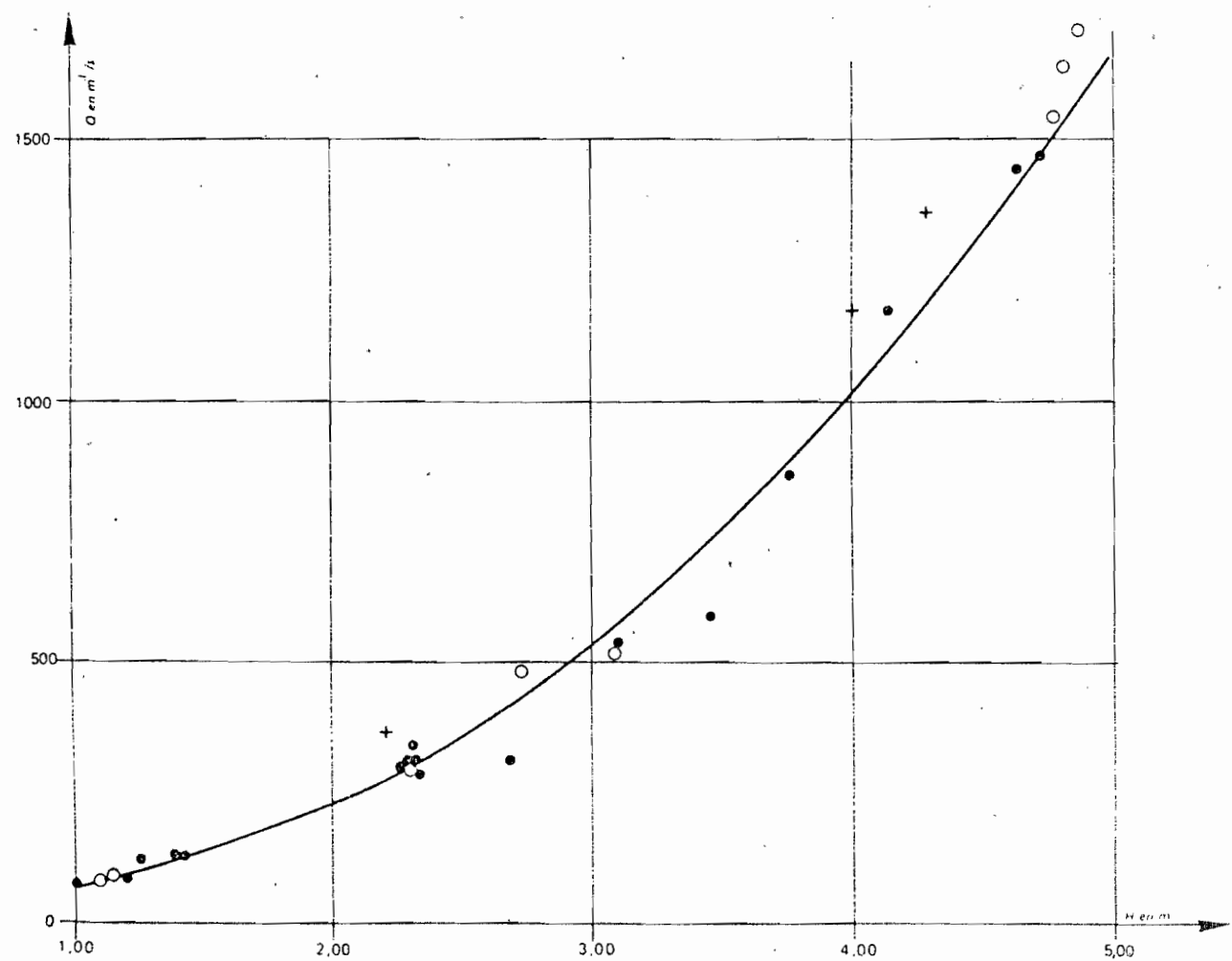
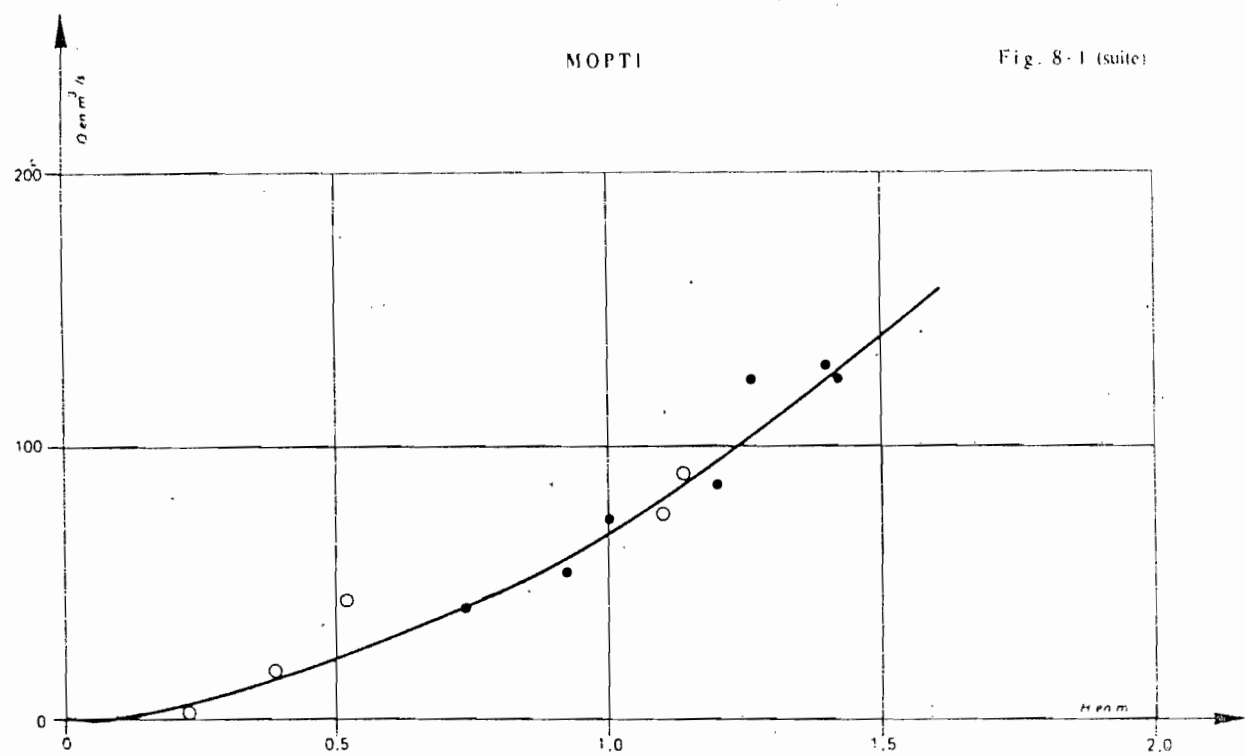
## MOPTI

Fig. 8-1



M OPTI

Fig. 8-1 (suite)



MOPTI

Fig. 8.2.

